

ԱՐԱՐԱՏՅԱՆ ԴԱՇՏԱՎԱՅՐԻ ԿԵՆՏՐՈՆԱԿԱՆ
ՄԱՍԻ ՍՏՈՐԻՆ ՉՈՐՐՈՐԴԱԿԱՆ ԼՀԱՅԻՆ ԿԱՎԱՅԻՆ
ԱՊԱՐՆԵՐԻ ԻՆԺԵՆԵՐԸ-ԵՐԿՐԱԲԱՆԱԿԱՆ
ԱՌԱՆՁՆԱՀԱՏԿՈՒԹՅՈՒՆՆԵՐԸ.

Երկար. միներ. զիտ. թեկնածու ԴԻՄԵՏՐԻ ՍԱՐԳՍՅԱՆ*

Ո՞և քերատ: Հետազոտված են Արարատյան դաշտավայրի լճային կավերի ինժեներական հատկությունները՝ լիթոգրաֆի ուսմունքի և դիսպերս սիստեմների ֆիզիկա-քիմիական մեխանիկայի տեսանկյունից՝ պարզութանելու համար լիթոգրաֆի պրոցեսում ապարի կազմի, վիճակի և հատկությունների փոփոխման օրինաւափությունները:

Տրված է լճային կավերի նյութական կազմի և ֆիզիկական հատկությունների նկարագրությունը և կավերի ամրության բնույթի ու գեֆորմացիոն առանձնահատկությունների բնութագիրը՝ ուս հարավորություն է տալիս հաստատելու ստրոկտուրո-մեխանիկական և ուղղողիական հատկությունների կախվածությունը ապարի կազմից և վիճակից:

Արարատյան դաշտավայրի լճային կավերի ֆիզիկա-մեխանիկական հատկությունների ուսումնասիրությունը կատարվել է կոմպլեքս, հաշվի առնելով նրանց կազմի, վիճակի և ստրոկտուրային կապերի բնույթի ազդեցությունը՝ լիթոգրաֆի ուսմունքի և դիսպերս սիստեմների ֆիզիկա-քիմիական մեխանիկայի տեսանկյունից: Նույն մուտքումը թույլ է տալիս պարզաբանելու լիթոգրաֆի պրոցեսում ապարների կազմի, վիճակի և հատկությունների փոփոխման օրինաչափությունները:

Անցյալում Արարատյան դաշտավայրում սիստեմատիկ ինժեներա-երկրաբանական հետազոտություններ շնոր անցկացվել, այդ իսկ պատճառով մեր կատարած աշխատանքը որոշ շափով լրացնում է այդ բացը:

Երկրաբանական տեսակետից Արարատյան դաշտավայրի ստորին չորրորդական կավային ապարները լավ լուսաբանված են մի շարք հեղինակների աշխատանքներում (Անիք, 1899; Աւլանյա, 1958; Գաբրիելյան, 1959; Օգանեզով, 1962**):

Լճային կավերի լիթոգրաֆիական առանձնահատկությունները և քիմիո-միներալոգիական կազմը ուսումնասիրված են դաշտային պայմաններում և լարութափայում՝ քիմիական, թերմալ, էլեկտրոնումանրագիտակային և ունտղենուստրոկտուրային անալիզների միջոցով:

* ՀԱՅԱՀ ԳԱ Երկրաբանական ինստիտուտի գեոէներանիկայի բաժնի ակադ զիտական աշխատանք:

** Քրականությունը տե՛ս էջ 114—115:

ՔԻՄԻՈ-ՓԵՏՐՈԳՐԱՅԻՎԱԿԱՆ ՈՒՍՈՒՄՆԱՍԻՐՈՒԹՅՈՒՆՆԵՐ

Կավերի դիտարկված նմուշներն աշքի ևն ընկնում մանրադիտակային ալեվորդի նմանությամբ: Մանրադիտակի տակ կազմն ունի պելիտային, երբեմն ալեվորդի գույնը սարուկառուրա, տեքստուրան մեղմ կողմնորոշված (նկ. 1*): Կամ անկանոն է (նկ. 2): Նշված նմուշների (նմուշներ 4834 և 4839) մուռա գրանորդված թույլ կողմնորոշվածությունը, ըստ երկույթին, բացատրվում է փայլարային միներալների թեփուկների ներկայությամբ:

Լային կավերի կազմում իշխում է նորբերդի կավային մատերիալը, հավակնաբար, հիգրաֆայլարամոնտառորդի կազմի և կան ոչ մեծ քանակի մասնիկներ փոշի վիճակում: Ապարում հանդիպում է թթու կազմի, աստարբեր աստիճանի բարբարված և ոչ-հավասարաշափ բաշխված մատերիալ:

Կալցիտը ներկայացված է միկրոֆաունայի մնացորդների ձևով: Կավային միներալները և կալցիտը, որոնք զբաղեցնում են ալերիտային մատերիալի հատիկների միջև եղած տարածությունը, ապարը ցեմենտացնում են: Հանդիպում են դիատոմային ջրմուռների բեկորներ (նկ. 2), իսկ 4833 նմուշը լրիվ կազմված է միկրոօրգանիզմների մնացորդներից (նկ. 3): Բայց 133 հորատանցքի տվյալների, ընդհանուր առմամբ, խորությամբ կարողնատների պարունակությունը նվազում է:

Համախառն քիմիական անալիզի միջոցով ուսումնասիրված է ապարի կավային ֆրակցիան (1 մկ.-ից փոքր): Արդյունքները բերված են 1-ին աղյուսակում*: Հետազոտված կավերում SiO_2 կազմում է 52,85—60,69%, իսկ Al_2O_3 ՝ 12,43—18,50%; Fe_2O_3 պարունակությունը զգալի է (4,30—8,89%); TiO_2 և MnO կազմում են տոկոսի չնշյան մասը: Նմուշներից շատերում FeO պարունակությունը 1%-ից ավելի է: Բոլոր նմուշներում MgO (2,36—4,58%) ավելի է, քան CaO (0,93—3,14%): Ալկալիների պարունակությունը բավականին բարձր է, ընդորում K_2O (1,02—2,10%) ավելի է, քան Na_2O (0,60—2,20%):

Ամորֆ ու նորմալ SiO_2 և մեկուկեսանոց օքսիդների պարունակությունը ուրացված է KOH -ի 5% լուծույթի մզվածքի միջոցով կ. կ. Գեղրոյցի մեթոդով (աղյուսակ. 2): Ամորֆ SiO_2 -ի զգականությունը (նմուշներից շատերում 1,66%-ից ավելի, իսկ մյուսներում՝ 10,11—16,27%) պայմանավորված է լային ապարների ձևավորման առանձնահատկություններով (ակտիվ հրաժային գործունեության պայմաններում):

Թերմիկ հետազոտուրյունները կատարվել են $\text{TY}-1$ և $\text{УТА}-1$ թերմիկ սարքերի վրա: Ստացված կորերը խմբավորված են երկու խմբում (նկ. 4): Առաջին խմբի մեջ են մտնում 4829, 4830, 4832, 4835, 4837, 4839 և 4840 նմուշների կորերը, իսկ երկրորդի մեջ՝ 4828, 4831, 4833, 4836 և 4838 նմուշների կորերը:

Ստացված զիֆերենցիալ կորերի վրա պարզ գրանորվում են չորս էնդոթերմիկ և մեկ էլեկտրոսկոպիկ էֆեկտաներ:

Նշված երկու խմբերի տարբերությունը հիմնականում կայանում է նրանում, որ առաջին էնդոթերմիկ ռեակցիան առաջին խմբի մոտ ավելի ինտենսիվ է արտահայտված, քան երկրորդ խմբի մոտ:

* Նկարները տե՛ս էջ 116—119:

** 1—12 աղյուսակները տե՛ս էջ 95—111:

Հստ թերմիկ անալիզի արդյունքների լճային կավերն իրենցից ներկա յացնում են մոնտոմորիլունիտի և հիդրոֆայլարների խառնուրդ: Ելեկտրոնամանրափակային հետազոտություններ: Կիրառվել է սուսպին մեթոդը: Ակգրենական մեծացումը 5000 անգամ է, իսկ լուսանկարացնելուց հետո՝ 10000:

Հետազոտությունների արդյունքները բերված են էլեկտրոնամանրափակային կավերների ձևով (Նկ. 5—6): Նկարների վրա լավ գիտվում է կավային կավերների ձևով (Նկ. 5—6): Ակգրենատները կազմված են մոնտոմորիֆրակցիայի ազգեգատային վիճակը: Ակգրենատները կազմված են մոնտոմորիֆրակցիայի խմբի միներալների մուգ և կիսապահանց իզոմետրիկ թերթիկներից: Լուսիտի խմբի միներալների մուգ և կիսապահանց իզոմետրիկ թերթիկներից: Բոլոր նմուշներում հայտնաբերված են բարձրադիմակերս մասնիկներ (հավաթուր նմուշներում հայտնաբերված է դիմակերս կվարց և հիդրոֆայլարներ), դիմակերս կվարց և հիդրոֆայլարներ՝ կիսանաբար երկաթի հիդրոքարտիդներ), դիմակերս կվարց և հիդրոֆայլարներ՝ կիսանաբար իզոմետրիկ մասնիկների ձևով:

Ռենտգենոստրուկտորային հետազոտություններ: Ռենտգենոգրամներ ստանալու համար օգտագործվել է դիֆրակտումետր ՎՊԸ—50:

Բոլոր ուսումնասիրված նմուշները տվել են շատ նման դիֆակտոգրամներ: Հստ գրանցված դիֆակտոգրամների նմուշները կազմված են մոնտոմորիլունիտից (արտացոլումը 001 մոտ 15 Å): Նման եղբակացությունը հաստատում է նաև 4839 նմուշի շիկացումը մինչև 600° (արտացոլումը 15 Å տեղափոխվում է 10 Å): Բացի մոնտոմորիլունիտից հետազոտված նմուշները ոչ մեծ քանակով պարունակում են հիդրոփայլար, կվարց, կաղնիտիտ խառնուրդ:

Այսպիսով, լճային կավերին հատուկ է հիդրոփայլարամոնտոմորիլունիտային կազմ, ըստ որում տիրապետում է մոնտոմորիլունիտը, որը և պայմանավորում է կավերի ֆիզիկական և բիոմիական հատկությունները:

Կանոն ընդունակություն և փոխանակային կատարելու կազմը: Կլանժան տարրության և փոխանակային կատիոնների մեծությունները բերված են աղյուսակ 3-ում: Ուսումնասիրված նմուշների կլանժան տարրողության մեծությունները բավականին մոտ են (26,12—46,02 մգ-էկվ, միայն 4832 նմուշի մոտ—58,41 մգ-էկվ), որը բացարձում է կավերի միներալոգիական և գրանուլումետրիկ կազմերի համեմատական համասեռությամբ: Կլանժան տարրության ստացված մեծությունները համապատասխանում են լճային կավերի հիդրոփայլարամոնտոմորիլունիտային կազմին:

Ուսումնասիրված կավերում երկվալենտ կատիոնները (կլանժան տարրության 94%—ից ավելին) զգալիորեն ավելի են Na^+ (1,8—8,2%) պարունակությունից, որով և պայմանավորված է կավերի կոլիդալ-դիսպերսիոն մասի ազգեգատային վիճակը:

Կավերամ Ca^{2+} պարունակությունը կազմում է կլանժան տարրության 47,8—66,4%, իսկ Mg^{2+} 31,3—45,2%: Միաբն 4832 նմուշում Mg^{2+} (69,2%) գերակշռում է Ca^{2+} (29,0%) նկատմամբ:

Ս. Ս. Մորոզովի ուսումնասիրությունները ցույց են տվել (Մորոզով, 1949), որ ծագումով և միներալոգիական կազմով նման ապարների մոտ համանման ֆրակցիաների կլանժան տարրության մեծությունը համարյա նույնն է: Կենինականի դաշտավայրի լճային կավերի համար ստացված տվյալների (Сарկисյան, 1963, 1966) համեմատումը Արարատյան դաշտավայրի կավերի հետազոտման արդյունքների հետ հաստատում է այդ եղբակացությունը:

Զրալութելի աղերի և օգանական նյութի կազմը և պարունակությունը:
Կավային ապարների ինժեներա-երկրաբանական հատկությունների վրա մեծ
բրասպղեցություն են գործում ջրալութելի աղերի կազմը և վիճակը:

Հետազոտված կավերում հեշտ լուծվող աղերի պարունակությունը և կազմը
բարովվել են ջրային մղվածքի, միջին լուծվող աղերինը՝ աղա-թթվային մղված-
քի, իսկ դժվար լուծվող աղերինը՝ կալցիմետրիկ անալիզի միջոցով։ Ջրային
մղվածքի արդյունքները բերված են 4-րդ աղյուսակում։ Զրալութելի աղերի
պարունակությունը $0,16-0,34\%$ է։ Ջրային մղվածքի կատարունների կազմում
Na⁺ կարող գերիշտում է ($1,27-3,56$ մգ-էկլ) Ca²⁺ և Mg²⁺ նկատմամբ։

Բոլոր նմուշներում փոփոխակի գերակշռում են Cl⁻ ($0,66-2,60$ մգ-էկլ)
և SO₄²⁻ ($0,50-2,50$ մգ-էկլ)։ HCO₃⁻ իոնի պարունակությունը համարյա-
կությունը նմուշներում քիչ է Cl⁻ և SO₄²⁻ պարունակությունից։

Կավերում տիրապետում են Na-ի աղերը (NaCl, Na₂SO₄), իսկ մյուս
պարունակությունը առկա են CaSO₄ և Ca(HCO₃)₂։

Դիպսի քանակն ըստ աղաթթվային մղվածքի տվյալների (աղյուսակ 5) չէնչին է՝ տոկոսի հարյուրավոր, հազվադեպ տասնորդական մասը։ Ըստ Կալ-
ցիմետրիկ որոշումների (աղյուսակ 5) կարբոնատի պարունակությունը $1,96-$
 $2,9,37\%$ է։ Օրդանական նյութի գումար պարունակությունը կազմում է $0,25-$
 $2,24\%$ (աղյուսակ 5):

ԴՐԱՆՈՒԼՈՄԵՏՐԻԿ ԵՎ ՄԻԿՐՈԱԳՐԵԳԱՏԱՅԻՆ ԿԱԶՄԸ

Դրանուլոմետրիկ և միկրոագրեգատային անալիզները կատարվել են պի-
տեսակայի մեթոդով (Կաչինսկի, 1943)։ Արդյունքները բերված են 6-րդ աղ-
յուսակում և պատկերված են բաշխման կորերի ձևով (նկ. 7):

Համաձայն գրանուլոմետրիկ կազմի, լճային կավերի ուսումնասիրված
նմուշների մեծամասնությունը հանդիսանում են բարձրադիսպերս ապարներ
(կավային մասնիկների պարունակությունը $60\%-ից$ ավելի է)։ Գրանուլոմետ-
րիկ և միկրոագրեգատային անալիզների արդյունքների համեմատումը ցույց է
տայիս, որ դիսպերգատորի ավելացումը բոլոր գեպքերում բարձրացնում է կա-
վային ֆրակցիայի ելքը։ Կոպիտ և նուրբ կավային մասնիկների պարունակու-
թյունը համարյա հավասար է։ Միայն ուսումնասիրված կարվածքի վերին շեր-
տերից վերցրած նմուշներում (4828-4832) փոշային ֆրակցիան ($47,19-$
 $65,54\%$) տիրապետող է կավային ֆրակցիայի նկատմամբ, որը, ըստ երեսու-
թին, կապված է կլանված կալցիումի դերի մեծացման, երկաթի միացություն-
ների և օրգանական նյութի օքսիդացման հետ։

Միկրոագրեգատային անալիզի գեպքում կավային ֆրակցիայի տոկոսա-
յին պարունակության նվազեցմանը համապատասխան ավելանում է փոշային
և մասամբ ավագային մասնիկների պարունակությունը։

1-5 մկ-ից փոքր մասնիկների պարունակության (ըստ գրանուլոմետրիկ
և միկրոագրեգատային անալիզների տվյալների) հարաբերությունը (ագրեգա-
տացման գործակիցը) թույլ է տալիս պարզելու կավերի ստրուկտորային կա-
պերի բնույթը (Горькова, 1965)։

Ուսումնասիրված լճային կավերը բնորոշվում են պլաստիֆիցա-կոագու-
լացիային ստրուկտորային կապերով (ագրեգատացման գործակիցը 5 մկ-ից
փոքր մասնիկների համար $1,3-1,8$ է, իսկ 1 մկ-ից փոքրերի համար՝ $1,3-$

Ե, Լ): Կարբոնատների, օրգանական նյութի, ամորֆ կայծքարահողի և զիզով աղղեցության տակ ապարների ցեմենտացման հետևանքով նշված ստրուկտուրաները մասնակիորեն ձեռք են բերում կոնդենսացիոն ստրուկտուրալին կարաների հատկություններ:

ԿԱՎԵՐԻ ՖԻԶԻԿԱԿԱՆ ՎԻՃԱԿԻ ԵՎ ՖԻԶԻԿԱ-ՄԵԽԱՆԻԿԱԿԱՆ ՀԱՅՈՒԹՅՈՒՆՆԵՐԸ

Կավալյին ապարների դեֆորմացիոն և ամրության հատկությունների բնույթի, ստրուկտուրապատճառացման առանձնահատկությունների ու մեխանիկական պարզաբանման համար կարևոր նշանակություն ունի վիճակի և ֆիզիկական հատկությունների վոփոխման առանձնահատկությունները:

Բնույթը ջապարունակություններ, խառաստիճան և պլաստիկուրյուն: Հնային կավալյին ապարների համար որոշվել են՝ 1) բնական խոնավությունը, 2) գիգրոսկոպիկ խոնավությունը, 3) պլաստիկության սահմանները, 4) ապարի ծավալային և տեսակաբար կշիռները: Ֆիզիկական հատկությունների մյուս ցուցանիշները հաշված են բանաձեռքի միջոցով: Ստացված արդյունքները բերված են 7-րդ աղյուսակում, իսկ 133 հորատանցքի կտրվածքով այդ տվյալներով կազմված է ուսումնասիրված կավերի վիճակի վոփոխման գրաֆիկն ըստ խորության (նկ. 8):

Կավերի բնական խոնավությունը կազմում է 38,1—65,0%, իսկ գիգրոսկոպիկ խոնավությունը՝ 2,32—7,95%:

Կավալյին ապարների պլաստիկության թիվը $I_p = 24,5—54,4\%$, հետևաբար նրանք բարձր պլաստիկության ապարներ են, որը լրիվ համապատասխանում է նրանց բարձր դիսպերսությանը, հիդրոֆայլարամոնտմորիլոնիտային կազմին:

Խոտաստիճանի ցուցանիշը $B=0,22—0,86$, հիմնականում մեծ է 0,50-ից, իսկ հարաբերական խոնավությունը $\omega/\omega_0=0,59—0,94$ է: Ուսումնասիրված կավերը բարձր աստիճանի ջրհաղեցած ապարներ են (ջրհաղեցման գործակիցը $K>0,8$):

Տեսակաբար կշիռը $2,37—2,54$ գ/սմ³ է, իսկ ծավալային կշիռը՝ $1,36—1,77$ գ/սմ³: Նման ոչ մեծ տեսակաբար կշիռնակի կողմից հատտաված է նաև կենինականի դաշտավայրի հայլին կավերի համար (Տարկուս, 1966), որը, ըստ երեսութիւն, կավված է հետազոտված կավերի մեջ մոնամորիլոնիտային միներալների (տե՛ս կը. 2—2,4 գ/սմ³) և ամորֆ կայծքարահողի ներկայության հետ:

Հնային կավերին բնորոշ է բարձր ծակոտիկնություն ($n>50\%$):

Բոլոր նմուշների համար խոտացման գործակից մեծությունը տատանվում է 0,04-ից մինչև 0,58, այսինքն հնային կավերը դանվամ են պոտենցիալ պլաստիկ վիճակում, միջին խոտացման են և ստրուկտուրայի խախտման դեպքում նրանցում կարող են սոռաչանալ պլաստիկ դեֆորմացիաներ:

Ուսումնասիրված կավերի ֆիզիկական վիճակի և հատկությունների բերված ցուցանիշները բարձր են տակիս 133 հորատանցքի կտրվածքով առանձնացնել երկու գոտի. մինչև 53,0 մ նշված ցուցանիշները փոփոխական են, իսկ աշելի խորը նրանք համարյա մնում են անփոփոխ:

Առշում և քրջում: Կավերի ուղղումն ու թրջումն ուսումնասիրվել են բնական խոնավությամբ և անխախտ ստրուկտուրայով նմուշների վրա (Վալովսկին, 1958): Արդյունքները բերված են աղյուսակ 8-ում: Լճային կավերի ուղղումն մեծությունը չափազանց փոքր է (կազմում է տոկոսի տասնյակ), երբեմն արյուրավոր մասը), որովհետեւ, չնայած կավերի հիգրոֆալլարամոնտմորիլունիտային կազմի, կարբոնատների, ամորֆ կայծքարահողի և օրգանական նյութի պարունակության հետեւանբով պատրներում առաջանում են կուագուացիոն-կոնդենսացիոն ստրուկտուրային կապեր:

Ուսումնասիրված կավերն աշքի են ընկնում նաև թուլ ուղմամբ (աղյուսակ 8):

Կավերի սեղմելիուրյունը: Լճային կավերի սեղմելիությունն ու ֆիլտրացիայի գործակիցը որոշված են բնական խոնավությամբ և անխախտ ստրուկտուրայով նմուշների վրա Գ. Ի. Տեր-Մտեփանյանի կոնստրուկցիայի կոմիտիլմետերում (Տեր-Ստեփանյան, 1956):

Մտացված տվյալները գրաֆիկորեն պատկերված են 9-րդ նկարում:

Բայտ ա սեղմելիության գործակիցի նշանակության ($1-2$ կգ/սմ² լարումների միավակալում) ուսումնասիրված կավերը պատկանում են միջին սեղմելի ապարների խմբին (նրանց մոտ ա $0,01$ սմ²/կգ կարգի է): Նմուշների մեծ մասի մոտ սեղմումը սկսվում է $0,25$ կգ/սմ² լարումից սկսած, որը բացատրվում է ուսումնասիրված կավերի պրեզատացին կազմում կոպիտ գիսպերս մասնիկների զգայի պարունակությամբ (տե՛ս աղյուսակ 6):

Կոմպրեսիայի և զեկոմպրեսիայի տվյալների համեմատումը (Р= $\pm 0,25$ կգ/սմ² լարման դեպքում) վկայում է այն մասին, որ բեռնաթափման ժամանակ կոմպրեսիոն սեղմման դեֆորմացիայի $91,75$ տոկոսից ավելին վերականգնվում է:

Ֆիլտրացիայի գործակիցը որոշվել է կոմպրեսիոն փորձի ընթացքում լուսված բեռնավորման տակ կայունացնելուց հետո (մինչև 4 կգ/սմ²), ինչպես անակ բեռնաթափումից հետո (սկսած 4 -ից մինչև $0,25$ կգ/սմ²): Ֆիլտրացիայի գործակիցի հաշվումը կատարվել է Գ. Ի. Տեր-Մտեփանյանի նոմոգրամով (Տեր-Ստեփանյան, 1960) և միջին հաշվով $10^{-7}-10^{-8}$ սմ/ $\text{Վ}\cdot\text{ր}\cdot\text{լ}$ (աղյուսակ 9), չափանիքն ըստ ֆիլտրացիայի գործակիցի մեծության ուսումնասիրված կավերը պարականիում հանդիսանում են ջրակայուն ապարներ:

Եռառանցք սեղմում: Սահքի դիմագրությունն որոշվել է Եռառանցք սեղմուման միջոցով: Օգտագործվել են 38 մմ տրամագծի և 75 մմ բարձրության նմուշների:

Սահքի դիմագրությունն ուսումնասիրված է 4833 և 4834 նմուշների համար, որոնք համապատասխանաբար վերցված են $45,5$ և $48,0$ մ խորություններից:

Կատարվել են ջրահագեցած ապարների կոնսոլիդացիոն-չցամաքեցված միորմարկումներ:

Եռառանցք սեղմման արդյունքները բերված են 10 -րդ աղյուսակում:

Որոշված են սահքի դիմագրության ցուցանիշները (կցումը և ներբին շրիման անկյունը) և ծակուակնային ճնշումը:

10 -րդ նկարում պատկերված են լիվի և էֆեկտիվ լարումներով արտահայտված Մորի շրջանակները:

Ուսումնասիրված նմուշների կցման մեծությունը բավականին մեծ է ($c=0,85-1,00$ կգ/սմ 2). $c'=0,90-1,05$ կգ/սմ 2 , ներքին շփման անկումը $\varphi' > \varphi$ ($\varphi=13^{\circ}49'-16^{\circ}42'$, $\varphi'=14^{\circ}58'-17^{\circ}22'$):

**ԿԱՎԵՐԻ ՍՏՐՈՒՆՏՈՒՐՈ-ՄԵԽԱՆԻԿԱԿԱՆ ԵՎ ՌԵՊԼՈԳԻԱԿԱՆ
ՀԱՏԿՈՒԹՅՈՒՆՆԵՐԸ**

Կավերի ամրության և դեֆորմացիայի բնույթը բացատրելու, ապարների կաղմից ու վիճակից նրանց հատկությունների կախվածության աստիճանը պարզելու համար կարեռ նշանակություն ունի ստրուկտորո-մեխանիկական և ռելոդիական հատկությունների ուսումնասիրությունը:

Կավերի ստրուկտորո-մեխանիկական հատկություններն ուսումնասիրվել են Մասլովի սահմանագծով: Հասագոտվել են բնական ստրուկտորայով և խոնավությամբ նմուշ-մեթոդով: Հասագոտվել են բնական ստրուկտորայով և խոնավությամբ նմուշ-ներ՝ սահմանագծ մինչև ամրության P_m սահմանը: Ստացված կորերով հոսքի P_{k-1} սահմանից մինչև ամրության P_m սահմանը: Ստացված արդերությունները հաշված են բոլոր այն մեծությունները, որոնք բնութագրում են լճային կավերի հաշված ստրուկտորո-մեխանիկական հատկությունները: Ստացված արդյունքները բերված են աղյուսակ 11-ում և 11-12-րդ նկարներում:

Համաձայն ստրուկտորո-մեխանիկական հետազոտությունների համարյա յա բոլոր նմուշներում դեֆորմացիան սկսվում է $(2,4-6,1) \cdot 10^3$ դին/սմ 2 սահմանագծով լարումների գեպքում (միայն 4836 նմուշի մոտ 4,9-10 2 դին/սմ 2), իսկ բի գործող լարումների գեպքում (միայն 4836 նմուշի մոտ 4,0-7,1) $\cdot 10^4$ դին/սմ 2 լարումներից բարձր լարումների գեպքում: P_m/P_{k-1} հարաբերությունը $4,4-20$ է, ընդորում ըստ խորության (Հորատանցը 133, նմուշներ 4828-4836) դիտվում է հարաբերության մեծության աճ, այսինքն բեռնաթափումից հետո տեղի է ունենում ստրուկտորայի տիկոսարուպ վերականգնում:

Կավերի առաձգականության մոդուլի նշանակությունները բավականին մոտ են և միջին հաշվով 10^5-10^6 դին/սմ 2 է: Գործող լարումների արժեքի մեծացմանը զուգընթաց դիտվում է դեֆորմացիայի պայմանա-ակնթարթային Է: մոդուլի և հավասարակշիռ Է մոդուլի արժեքների անկում դեֆորմացիայի սրուցեսի ընթացքում ստրուկտորային կավերի քայլայման հետևանքով: 133 հորատանցը վերցրած նմուշների էլաստիկության մեծությունների համեմատումը խոսում է ըստ խորության ապարների էլաստիկ հատկությունների հարաբերական նվազման մասին: Ակնթարթային բեռնաթափման ժամանակ շի դիտվում դեֆորմացիայի լրիվ անկում, որը թույլ է տալիս հաշվելու առաձգականության մոդուլը ըստ բեռնաթափման և մածուցիկությունը:

Բեռնաթափման ժամանակ դիտվում է դեֆորմացիայի պայմանա-ակրն-թարթային Է: մոդուլի աճ, բեռնափորման ժամանակ հաշված նույն մոդուլի համեմատ, որը վկայում է կավերի խտացման և սիներեալի ամրացման մասին սահմանի և դեֆորմացիայի մարման զոտում՝ մշտապես զարծող լարման երկարական պայման դեպքում: Նման էֆեկտ դիտել են նաև Գորկովան և Ռյաբչեան (Горькова и Рябичева, 1959), Անսուվան (Аносова, 1966) և Սարգսյանը (Саргсян, 1966): Դա բացատրվում է սահմանագրությունում կավերի ստրուկտորայի խտացմամբ և կողմնորոշմամբ կավերի ստրուկտորայի խտացման ժամանակ (Попов, 1944; Райтбурд, 1956 և այլն.):

ինչպես լավ երևում է պայմանա-ակնթարթային (ε_0) և ամենամեծ (ε_m) առաջադականությունների սահմանը գործող լարումներից, կախվածության գրադիֆիկաներից հետազոտված կավերին, չնայած գեֆորմացիայի մոդուլների բարձր արժեքներին, հատուկ են թույլ առաձգական հատկություններ: Նման հանդիպամանքը, հավանաբար, բացատրվում է ապարներում օրգանական նյութի ներկայությամբ, որը ապարին հաղորդում է կոնդենսացիոն ստրուկտուրային կապերի հատկանիշներ:

Հետազոտված բնական ստրուկտուրայով նմուշներն ունեն բավականին բարձր մածուցիկություն և ընդունակ են սողոք առանց ստրուկտուրայի գգալի և բարյարացման՝ հոսքի ընթացքում ստրուկտուրայի ամրապնդման հետևանքով: Անձային կավերի ռելաքսացիայի պերիոդը միշին հաշվով $10^4 - 10^5$ վրկ է:

Այսպիսով, Մասլովի սահմանը գործիքի օգնությամբ ստրուկտուրո-մեխանիկական հատկությունների որոշման մեթոդը թույլ է տալիս բնութագրելու լճացման կավերի բնական ստրուկտուրաների գեֆորմացիոն վարքը:

Ունողոգիական հատկությունները: Լճային կավերի ռեոլոգիական հատկություններն ուսումնասիրվել են Վոլարովիչի ոստացիոն վիսկոզիմետրի օգնությամբ բառեկների վրա պլաստիկության վերին սահմանի դեպքում, որը թույլ է տալիս ստանալու ռեոլոգիական լիվի կորը ($N=f(p)$) և էֆեկտիվ մածուցիկության սահմանը գործող լարումից կախվածության կորերը ($\eta=f(p)$):

Վիսկոզիմետրը հնարավորություն է տալիս հետազոտելու քսուկի դեֆորմացիայի արագության փոփոխությունը լարումների ողջ ինտերվալում՝ սկսած հոսքի պայմանական ստատիկ P_{k-1} սահմանից մինչև ամրության P_m սահմանը:

Ռեոլոգիական հատկությունների ստացված բնութագրումները ներկայացված են աղյուսակ 12-ում և 13-րդ նկարում: Դեֆորմացիաները դիտվում են $10^3 - 10^4$ դին/սմ² սահմանը գործող լարումների դեպքում, իսկ ստրուկտուրայի արագությունը կատարվում է $P_m = (2,2 - 7,4) \cdot 10^4$ դին/սմ² լարումից բարձր լարումների դեպքում: Բնոնաթափման ժամանակ հետազոտված նմուշներից շատերի մոտ դիտվում է ստրուկտուրային ցանցի վերականգնման հիստերեզիս:

Հետազոտված ապարներն ընդունակ են հանկարծակի ջրիկացման լարումների բավականին նեղ ինտերվալում՝ հոսքի դինամիկի P_{k-2} սահմանից վեր գույք ($P_m/P_{k-2} = 1,1 - 1,6$, միայն 4830 նմուշի մոտ 2,7 է): Այդ ապարներն ամրության սահմանից վեր հոսում են նվազագույն հաստատում մածուցիկությամբ $m_{\eta_m} = 79 - 229$ պուազ: Ստրուկտուրայի սահմանային բարյալման դեպքում մածուցիկությունն ընկնում է երկու-երեք կարգով:

Եվեղովան մածուցիկությունը $\eta_0^* = 5,7 \cdot 10^3 - 5,7 \cdot 10^4$ պուազ: Այդ ինտերվալում քսուկը հոսում է պրակտիկորեն չբայթալված ստրուկտուրայով:

Բինհամի մածուցիկությունը $\eta_m^* = (1,1 - 9,3) \cdot 10^3$ պուազ և բնութագրում է բարձր լարումների բնագավառը:

Այսպիսով, համաձայն ռեոլոգիական հետազոտությունների արդյունքի, աջային կավերն ըստ ռեոլոգիական կորերի բնույթի դասվում են պլաստիկ-մածուցիկ սիստեմների խմբին:

Ե Զ Բ Ա Փ Ա Կ Ո Ւ Մ

Արարատյան գաշտավայրի լճալին կավալին ապարների հետազոտումով հաստատված է նրանց կազմի համասեռությունը՝ հիդրոփայլաբամուտացած ըիլունիտային: Կավերում մոնտմորիլոնիտի և ամորֆ կայծքարահողի առաջացրի նյունիտային: Կավերում մոնտմորիլոնիտի և ամորֆ կայծքարահողի առաջացրի նյունիտային: Կավերում մոնտմորիլոնիտի և ամորֆ կայծքարահողի առաջացրի նյունիտային:

Հստ գրանուլումների կազմի հետազոտված կավերը, որոնք ցեմենտացված են կարբոնատներով, ամորֆ կայծքարահողով և մասամբ օրգանական ված են կարբոնատներով, ամորֆ կայծքարահողով և մասամբ օրգանական ված են կարբոնատներով, ամորֆ կայծքարահողով և մասամբ օրգանական ված են կարբոնատներով, իսկ սարուկտուրային կավերն ունեն պլաստիֆիցա-կոռալուզացիոն բնույթ:

Լճալին կավերը լիթոլոգիական համասեռության հետ միասին ըստ խորության աշբի են ընկնում ֆիզիկական վիճակի փոփոխությամբ:

Համաձայն կոմպրեսիոն ուսումնասիրությունների, լճալին կավերը միջին աստիճանի սեղմելի են, իսկ ըստ ֆիլտրացիայի գործակցի մեծությունների նրանք պրակարիկորեն չըրակայուն ապարներ են:

Հստ ստրուկտուրո-մեխանիկական ունուղիքական ուսումնասիրությունների արդյունքների, հետազոտված կավերն իրենց վիճակով միշանկյալ են, թույլ և միջին աստիճանի խտացման ու լիթիֆիկացիայի ապարների միջև (Գորեկովա, 1966):

Այս ապարներին հատուկ է ստրուկտուրային ցանցի վերականգնման հիմքերի պահ:

Համաձայն կոմպրեսիոն և ստրուկտուրո-մեխանիկական ուսումնասիրությունների լճալին կավերին հատուկ է ստրուկտուրային ամրություն:

Բնական և խախտված ստրուկտուրաների գեֆորմացիոն վարքը զգալիուրեն տարբեր է (աղյուսակ 13):

Աղյուսակ 13

Կամիերի բնական և խախտված ստրուկտուրաների հատկությունների համեմատումը

Ստրուկտուրա	W, %	P_{k-1}	P_m	η ₀ ողուաց	
				դին/սմ ²	դին/սմ ²
Բնական	40,6—64,0	$4,9 \cdot 10^2$ — $7,3 \cdot 10^3$	$1,0 \cdot 10^1$ — $7,3 \cdot 10^3$	$5,4 \cdot 10^9$ — $1,8 \cdot 10^{11}$	
Խախտված	56,4—76,3	$1,1 \cdot 10^3$ — $1,2 \cdot 10^4$	$2 \cdot 2 \cdot 10^4$ — $7 \cdot 4 \cdot 10^4$	$3,5 \cdot 10^2$ — $6,7 \cdot 10^4$	

Բնական ստրուկտուրաները փոքր լարումների գեպրում հանդիսանալով էլաստո-պլաստո-մածուցիկային մարմիններ, հետազայում՝ հացմանը և խտացմանը զուգընթաց, անցնում են պլաստո-մածուցիկային խումբը:

Խախտված ստրուկտուրաների գեպրում լճալին կավերն իրենց սեղուղիական վարքով վերաբրվում են պլաստո-մածուցիկային մարմիններին:

Անցկացրած հետազոտությունները մեկ անգամ ևս ցույց տվեցին կավալին ապարների կոմպլեքսային բանակական բնութագրման անհրաժեշտությունը:

ИНЖЕНЕРНО-ГЕОЛОГИЧЕСКИЕ ОСОБЕННОСТИ НИЖНЕЧЕТВЕРТИЧНЫХ ОЗЕРНЫХ ГЛИНИСТЫХ ПОРОД ЦЕНТРАЛЬНОЙ ЧАСТИ АРАРАТСКОЙ КОТЛОВИНЫ

Канд. геол.-минер. наук Д. Б. САРКИСЯН*

Р е ф е р а т. Исследованы инженерно-геологические свойства нижнечетвертичных озерных глинистых пород Ааратской котловины с позиций учения о литогенезе и физико-химической механики дисперсных систем, с целью установления закономерностей изменения состава, состояния и свойств пород в процессе литогенеза.

Дано описание вещественного состава и физических свойств озерных глин и характеристика природы прочности и деформационных особенностей глин, с установлением зависимости их структурно-механических и реологических свойств от состава и состояния.

Исследование физико-механических свойств озерных глин Ааратской котловины проводилось комплексно, с учетом влияния их состава, состояния и характера структурных связей с позиций учения о литогенезе и физико-химической механики дисперсных систем, что позволяет установить закономерности изменения состава, состояния и свойств пород в процессе литогенеза.

Ранее в районе Ааратской котловины не проводилось систематических инженерно-геологических исследований, поэтому проведенная вами работа до некоторой степени восполняет пробел в этой области.

В геологическом отношении нижнечетвертичные глинистые породы Ааратской котловины хорошо изучены и описаны в работах ряда авторов (Абих, 1899; Асланян, 1958; Габриелян, 1959; Оганезов, 1962**. и др.).

Литологические особенности и химико-минералогический состав нижнечетвертичных озерных глин Ааратской котловины изучены в полевых условиях путем осмотра керна буровых скважин и в лабораторных условиях путем просмотра шлифов, ориентированных перпендикулярно слоистости, в поляризационном микроскопе при увеличении в 70 и 150 раз и посредством химического, термического, электронномикроскопического и рентгеноструктурного анализов.

ХИМИКО-ПЕТРОГРАФИЧЕСКИЕ ИССЛЕДОВАНИЯ

Микроскопическое изучение шлифов озерных глин показало сходство микроскопической характеристики просмотренных образцов. Для наиболее характерных участков шлифов сделаны микрофотографии. Под микроскопом структура глин лентопелитовая, иногда алевролитовая; текстура слабоориентированная (рис. 1***), беспорядочная (рис. 2).

* Старший научный сотрудник отдела геомеханики Института геологических наук АН АрмССР.

** Литературу см. на стр. 114—115.

*** Рисунки см. на стр. 116—119.

Некоторая ориентированность в породе у указанных образцов (обр. 4834 и 4839), вероятно, связана с наличием чешуек слюдистых минералов.

В составе озерных глин преобладает тонкодисперсный глинистый материал, по-видимому, гидрослюдисто-монтмориллонитового состава с небольшим количеством пылеватых частиц. Ориентировка чешуек глинистых материалов различная.

Терригенный алевритовый материал представлен полевыми шпатами, тонкодисперсным кварцем, кальцитом, акцессорными и рудными минералами, более или менее равномерно распределенными по всей массе. В породе присутствует в разной степени разложившийся и неравномерно распределенный материал кислого состава. Кальцит представлен в виде остатков микрофлоры. Тонкозернистые глинистые минералы и кальцит, заполняя промежутки между зернами терригенного алевритового материала, цементируют породу. Встречаются обломки диатомовых водорослей (рис. 2). Без анализатора в основной массе видно довольно большое количество мелких и удлиненных фрагментов углистого вещества.

Существенно отличается от описанных образец 4833 (рис. 3); он сплошь состоит из остатков микроорганизмов.

Сопоставление образцов из скв. 133 (обр. 4828—4836) показало уменьшение содержания карбонатов с глубиной. Результаты валового химического анализа глинистой фракции породы (меньше 1 мк) приведены в табл. 1. В исследованных глинах содержание SiO_2 очень высокое (52,85—60,69%), Al_2O_3 —12,43—18,50%. Содержание Fe_2O_3 значительное (4,30—8,89%). TiO_2 присутствует в долях процента, MnO —в сотых долях процента. Содержание FeO в большинстве случаев больше 1%.

Во всех образцах содержание MgO (2,36—4,58%) выше, чем CaO (0,93—3,14%). Содержание щелочей в исследованных глинах довольно высокое, причем K_2O (1,02—2,10%) преобладает над Na_2O (0,60—2,20%). Это указывает на малую выщелоченность глин и наличие гидрослюд (иллита) в глинистом веществе породы. Потери при прокаливании составляют от 5,19 до 8,35%.

Для более полного представления о химическом составе исследованных глин в табл. 1 приведено также процентное содержание элементов.

Содержание аморфной или свободной SiO_2 , а также содержание SiO_2 и суммы полуторных окислов определялось по методу К. К. Гедройца посредством вытяжки 5%-ным раствором KOH. Результаты определения приведены в табл. 2. Значительное содержание аморфного кремнезема (в большинстве образцов более 1,66%, а в других—10,11—16,27%) обусловлено особыми условиями формирования озерных глин (в обстановке активной вулканической деятельности), чем и объясняется наличие диатомитов.

Термические исследования проводились на термических установках ТУ-1 и УТА-1. Кривые нагревания глин сведены в две группы (рис. 4)

в первую группу входят кривые нагревания образцов 4829, 4830, 4832, 4835, 4837, 4839 и 4840, во вторую—4828, 4831, 4833, 4834, 4836 и 4838.

На дифференциальных кривых нагревания образцов первой группы фиксируются четыре эндотермических и два экзотермических эффекта.

Иллюстрации Таблица 1

Чашевидные глины с высоким содержанием алюминия ($\text{Fe}_{\text{O}} < 1\%$)

Результаты валового химического анализа глин (фракция $< 1\mu$)

№ образцов	Содержание окислов (числитель) и элементов (знаменатель), %										$\frac{\text{SiO}_2}{\text{R}_2\text{O}_3}$
	SiO_2	TiO_2	Al_2O_3	Fe_2O_3	FeO	MnO	CaO	MgO	Na_2O	K_2O	
	Si	Ti	Al	Fe	Fe	Mn	Ca	Mg	Na	K	
4828	59,35	0,62	13,32	5,89	1,10	0,08	2,85	4,44	1,20	1,30	4,80
	27,77	0,37	7,05	4,12	0,75	0,06	2,04	2,67	0,89	1,08	5,31
4829	60,69	0,62	14,88	4,30	1,46	0,05	3,14	3,17	2,20	2,10	2,61
	28,40	0,37	7,87	3,01	0,99	0,04	2,24	1,90	1,63	1,74	5,19
4830	57,45	0,62	15,37	5,90	1,09	0,04	2,29	3,47	1,30	1,70	4,06
	26,89	0,37	8,13	4,12	0,74	0,03	1,64	2,08	0,96	1,41	6,60
4831	54,30	0,62	13,69	8,89	1,24	0,04	1,64	3,31	0,90	2,04	99,89
	25,41	0,37	7,24	6,21	0,84	0,03	1,17	1,98	0,67	1,69	2,4
4832	53,22	0,62	14,13	8,50	1,24	0,04	1,28	4,17	0,60	1,60	6,85
	24,91	0,37	7,47	5,94	0,84	0,03	0,91	2,50	0,44	1,33	8,12
4833	54,21	0,61	13,71	9,27	1,24	0,04	0,93	3,73	0,60	1,17	7,36
	25,37	0,36	7,25	6,48	0,84	0,03	0,66	2,24	0,44	0,97	7,92
4834	54,16	0,59	16,02	6,92	1,24	0,04	0,93	3,77	0,60	1,17	100,16
	25,37	0,36	7,25	4,48	0,84	0,03	0,66	2,24	0,44	0,97	2,4
4835	58,38	0,54	15,18	6,87	0,21	0,10	1,71	2,36	1,02	1,30	5,87
	27,32	0,32	8,03	4,80	0,14	0,08	1,22	1,41	0,76	1,08	7,29
4836	60,51	0,47	13,15	6,55	0,51	0,13	2,28	2,94	1,02	1,30	100,55
	28,32	0,28	6,96	4,58	0,35	0,10	1,63	1,76	0,76	1,08	3,1
4837	52,85	0,47	14,15	7,47	1,09	0,04	1,14	4,58	0,47	1,17	2,5
	24,73	0,28	7,48	5,22	0,74	0,03	0,81	2,75	0,35	0,97	3,10
4838	60,69	0,41	12,43	4,75	2,12	0,04	1,64	3,33	0,80	1,02	7,11
	23,40	0,25	6,57	3,32	1,45	0,03	1,17	2,00	0,59	0,85	7,01
4839	54,30	0,55	18,50	4,62	0,81	0,03	1,28	3,78	0,90	2,00	100,89
	25,41	0,33	9,79	3,23	0,55	0,02	0,91	2,27	0,67	1,66	2,4
4840	56,13	0,56	15,06	6,29	1,09	0,04	1,92	3,52	1,30	1,90	4,96
	26,27	0,34	7,97	4,40	0,74	0,03	1,37	2,11	0,96	1,58	99,18

На термограммах указанных образцов первая эндотермическая реакция, возникающая в связи с удалением адсорбированной и межпакетной воды, сравнительно с другими выражена весьма интенсивно и протекает в интервале 100—200° с максимумом около 130—150°С.

Реакция при выделении воды типа «ОН» решетки протекает значительно менее интенсивно, располагается в пределах 490—570°С и связана с разрушением кристаллической решётки глинистых минералов.

Окончательное разрушение решетки минералов происходит при максимумах 860—900°, что связано с кристаллизацией аморфных продуктов разложения монтмориллонита.

На некоторых термограммах второй эндотермический пик раздвоен, что свидетельствует о наличии примеси гидрослюды.

Первый экзотермический эффект с максимумом 350—400°С связан с окислением органического вещества. Наличие такого эффекта указывает на присутствие аморфных гидроокисей железа и алюминия. Высокотемпературный экзотермический эффект выражен очень слабо и имеет максимум 950—980°С.

Чтение 2 Таблица 2

Հմելային բաշխածք արդյունքներ
Результаты анализа щелочной вытяжки

Համար № образцов	Աժանական իրացությունը Глубина отбора образцов, м	Կազմակերպությունը Место отбора образцов	Բաղադրիչների կազմը % -ով 100 գ բաշխածք չոր կափածքի համար Состав компонента в % на 100 г абс. сухой навески		
			SiO ₂	R ₂ O ₃	SiO ₂
4828	31,5	Скв. 133	2,33	0,16	2,01
4829	32,5	" "	2,07	0,23	1,74
4830	36,5	" "	2,64	0,24	2,36
4831	40,5	" "	2,77	0,20	2,53
4832	42,5	" "	2,23	0,19	2,01
4833	45,5	" "	1,87	0,18	1,66
4834	48,0	" "	1,90	0,13	1,75
4835	53,0	" "	16,45	0,15	16,27
5836	87,0		10,33	0,19	10,11
4837	67,5	Совхоз "Арагат"	2,21	0,24	1,93
4838	80,0		13,18	0,21	12,87
4839	28,0	Скв. 121а	3,60	0,16	3,41
4840	30,0	" "	3,12	0,24	2,84

По данным термического анализа, образцы первой группы представляют собой смесь гидрослюды и монтмориллонита, причем породообразующим минералом является монтмориллонит.

Вторая группа образцов отличается тем, что первая эндотермическая реакция выражена менее интенсивно, чем у первой группы. Это свидетельствует о присутствии в этих образцах значительного количества гидрослюды. Однако и здесь, по-видимому, в составе глинистого вещества преобладает монтмориллонит.

Для более детальной и точной диагностики глинистых минералов необходимы электронномикроскопические и рентгеноструктурные исследования.

Электронномикроскопические исследования проводились в лаборатории электронной микроскопии геологического факультета МГУ, за что автор приносит благодарность доц. Г. Г. Ильинской.

Первичное увеличение давалось в 5000 раз, в конечное, после фотографирования,—в 10000. Применялся метод суспензий.

Результаты исследований в электронном микроскопе приведены в виде электронномикроскопических снимков (рис. 5—6).

Исследованные глины под микроскопом очень сходны. На полученных снимках видно, что тонкая глинистая фракция озерных глин находится в агрегированном состоянии. Фиксированные агрегаты состоят, в основном, из темных и полупрозрачных хлопьевидно изометрических глаукастинок с расплывчатыми туманными очертаниями граней минералов группы монтмориллонита.

При электронномикроскопическом исследовании во всех образцах выявлено большое количество аморфных высокодисперсных частиц (возможно, гидроокислов железа) и дисперсного кварца, а также присутствие гидрослюд в виде полупрозрачных изометрических частиц с мелкими очертаниями.

На рис. 6 хорошо видны обломки диатомовых водорослей, адсорбированных на поверхности глинистой частицы.

Рентгеноструктурные исследования. Для получения рентгенограммы исследовались ориентированные агрегаты, полученные осаждением из водных суспензий на стеклянные пластиинки. От ориентированных агрегатов регистрировались базальные отражения типа ООС на дифрактометре УРС-50.

Автор благодарит Ю. С. Дьяконова, проводившего эти исследования Рентгеноструктурной лаборатории ВСЕГЕИ.

Все исследованные образцы дали очень сходные дифрактограммы. По зарегистрированным дифрактограммам можно сделать вывод, что все исследованные образцы состоят из монтмориллонита (отражение 101 около 15 Å). Результаты прокаливания образца 4839 до 600° подтверждают этот вывод (отражение при 15 Å сместились до 10 Å после прокаливания образца). Кроме монтмориллонита, в исследованных образцах в небольшом количестве содержатся гидрослюд, кварц, перимесь каолинита.

Таким образом, для исследованных глин характерен гидрослюдисто-монтмориллонитовый состав с преобладанием монтмориллонита, обуславливающего, в основном, физические и химические свойства глин.

Обменная способность и состав обменных катионов.

Результаты определений приведены в табл. 3. Величины емкости поглощения исследованных образцов довольно близки (26,12—66,02 мг-экв на 100 г породы, только у образца 4832—58,41 мг-экв), что объясняется сравнительной однородностью минералогического и гранулометрического их состава. Полученные величины емкости поглощения соответствуют гидрослюдисто-монтмориллонитовому составу озерных глин.

Содержание двухвалентных катионов (больше 94% емкости поглощения) значительно больше содержания Na^+ (1,8—8,2%), что обуславливает агрегированное состояние коллоидно-дисперсной части глин. Поэтому же причине в глинах относительно слабо выражены набухаемость,

липкость, пластичность, связанность и гидрофильтрные свойства. Содержание Ca^{2+} составляет 47,8–64,6% емкости поглощения, а Mg^{2+} — 31,3–45,2%. Только у образца 4832 Mg^{2+} (69,2%) преобладает над Ca^{2+} (29,0%).

Итого и табл. 3

Чашеरի կանման տարրությունը և փոխակային կատառների կազմը

Емкость поглощения и состав обменных катионов глин

№ образцов	Численность породы Емкость поглоще- ния, мг-экв на 100 г породы	Физико-химические Состав обменных катионов		
		Na ⁺	Ca ²⁺	Mg ²⁺
4828	30,73	1,83 5,9	17,56 57,2	11,34 36,9
4830	27,12	0,82 3,0	13,84 51,2	12,46 45,8
4831	30,39	1,49 4,8	15,14 50,0	13,76 45,2
4832	58,41	1,08 1,8	16,97 29,0	40,36 69,2
4833	37,94	2,18 5,6	21,25 56,4	14,51 38,0
4834	39,89	1,69 4,2	23,32 58,5	14,88 37,3
4835	43,57	3,58 8,2	20,83 47,8	19,16 44,0
4836	46,02	2,71 5,9	25,64 55,7	17,67 38,4
4837	30,70	1,42 4,6	19,60 63,8	9,68 31,6
4839	38,88	2,29 5,9	21,52 55,4	15,07 38,7
4846	33,99	1,58 4,6	20,69 60,9	11,72 34,5
4847	29,72	1,24 4,1	19,18 64,6	9,30 31,3

Умноженное количество катионов на 100 г.

Большое количество катионов в обменном состоянии.

Примечание. В числителе—мг-экв на 100 г породы,

в знаменателе—процент от общей емкости.

Исследования С. С. Морозова (1949) показали, что величина емкости поглощения одних и тех же фракций у пород, близких по своему генезису и минералогическому составу, примерно одинакова; сопоставление данных, полученных ранее для озерных глин Ленинаканской котловины (Саркисян, 1963, 1966), с результатами исследований глин Арагатской котловины подтверждает эти выводы.

Состав и содержание водорастворимых солей и органического вещества. На инженерно-геологические свойства глинистых пород большое влияние оказывают состав и состояние водорастворимых солей.

В исследованных глинах содержание и состав легкорастворимых солей определялись с помощью водной вытяжки, среднерастворимых—с помощью соляно-кислой вытяжки, а труднорастворимых солей—с помощью кальциметрического анализа.

Водная вытяжка готовилась при соотношении порода : вода = 1 : 10. Результаты анализов водных вытяжек приведены в табл. 4. Содержание воднорастворимых солей составляет 0,16—0,34%. Реакция водных вытяжек исследованных образцов слабощелочная ($\text{pH}=7,5$ — $8,0$). Результаты анализа водной вытяжки (1:10) глин

Итоги Таблица 4

Чиғылғы ғашырғы ғашырғы (1:10) шеңдеңбендер

Результаты анализа водной вытяжки (1:10) глин

Номер образца	pH	Вашағарғы қалыптастырылған компоненттер					Общая минерализация водной вытяжки, мг/100 г	
		Na ⁺	Mg ²⁺	Ca ²⁺	Cl ⁻	SO ₄ ²⁻		
4828	7,5	68,79 2,82	— —	4,88 0,23	52,68 1,40	96,99 1,50	7,84 0,15	231,18
4829	7,6	75,60 3,19	— —	4,74 0,23	84,87 2,32	62,83 1,00	5,29 0,10	233,33
4830	7,6	57,37 2,42	— —	9,48 0,46	36,56 1,00	94,24 1,50	19,06 0,38	216,71
4831	7,5	85,99 3,56	— —	14,49 0,69	82,00 2,20	96,13 1,50	27,65 0,55	306,26
4832	7,6	69,72 2,89	— —	24,15 1,15	89,46 2,40	64,05 1,00	32,39 0,64	279,77
4833	7,5	85,06 3,46	— —	19,69 0,92	60,78 1,60	163,17 2,50	15,33 0,28	344,03
4834	7,5	77,68 3,16	3,00 0,23	19,74 0,92	68,37 1,80	97,90 1,50	51,94 1,01	318,63
4835	7,6	59,83 2,41	— —	9,94 0,46	61,34 1,60	65,88 1,00	14,00 0,27	210,99
4836	7,6	39,64 1,60	— —	9,99 0,46	34,02 0,89	65,88 1,00	9,10 0,17	158,63
4837	7,6	65,51 2,69	1,48 0,11	9,75 0,46	52,68 1,40	97,04 1,50	18,32 0,36	244,78
4838	7,6	30,66 1,27	5,88 0,46	24,15 1,15	24,62 0,66	64,05 1,00	61,66 1,22	211,02
4839	7,5	77,28 3,20	— —	24,15 1,15	96,91 2,60	64,05 1,00	38,01 0,65	300,40
4840	7,6	67,09 2,78	5,93 0,46	19,37 0,92	82,00 2,20	32,02 0,50	73,65 1,46	280,06

Чиғылғы ғашырғының қалыптастырылған соли қалыптастырылған соли 100 г.

Примечание. В числителе—мг на 100 г абсолютно сухой породы, в знаменателе—мг-экв.

7,6). В составе катионов водных вытяжек всех образцов ион натрия резко преобладает (1,27—3,56 мг-экв) над Ca^{2+} и Mg^{2+} , достигая максимального значения в водной вытяжке обр. 4831. Содержание Mg^{2+} (0,11—0,46 мг-экв) установлено только у образцов 4834, 4837, 4838, 4840.

Во всех образцах попеременно преобладают ионы Cl^- (0,66—2,60 мг-экв) и SO_4^{2-} (0,50—2,50 мг-экв). Содержание HCO_3^- почти во всех образцах меньше содержания Cl^- и SO_4^{2-} .

В глинах преобладают соли натрия (NaCl , Na_2SO_4). Из других солей присутствуют CaSO_4 и $\text{Ca}(\text{HCO}_3)_2$. Соли магния установлены в небольшом количестве. Результаты солянокислой вытяжки приведены в табл. 5. Количество гипса вычислялось с учетом содержания сульфат-иона водной вытяжки. Во всех образцах содержание гипса незначительно—сотые, реже десятые доли процента. По кальциметрическим определениям (табл. 5) содержание карбонатов колеблется от 1,96 до 9,37%. Суммарное содержание органических веществ определялось по методу И. В. Тюрина (1937) и составляет 0,25—2,24% (табл. 5).

Աղյուսակ Տаблица 5

Կավերի պարզաբնակ բարդացման և օգագական բյուրեղ
պոչման աղյուսակներ

Результаты анализа солянокислой вытяжки, карбонатности и содержания органического вещества в глинах

Համահարի № образцов	Բացարձակ չոր կառագծքի պարունակությունը Содержание в % на абр. сухую навеску							Որդինական նույնական օրգանական вещества	
	SO ₄			CaSO ₄ ·2H ₂ O	CO ₂	CaCO ₃			
	Պարզաբնակ բարդացման սոլյո-կիսլու նայտիք	Պարզաբնակ բարդացման водной вытяжки	Պիցանի гипса						
4828	0,01400	0,00015	0,01385	0,0196	3,13	7,14	0,25		
4829	0,02600	0,00010	0,02590	0,0367	2,44	5,56	1,06		
4830	0,02600	0,00038	0,02562	0,0363	3,20	7,29	1,39		
4831	0,03300	0,00055	0,03245	0,0460	1,69	3,85	1,15		
4832	0,03900	0,00064	0,03836	0,0543	3,13	7,14	1,06		
3833	0,05800	0,00088	0,05712	0,0809	1,70	3,87	1,18		
4834	0,06600	0,00101	0,06499	0,0921	2,80	6,38	1,09		
4835	0,03000	0,00027	0,02973	0,0421	1,32	3,01	0,38		
4836	0,01600	0,00017	0,01583	0,0224	0,93	2,12	0,36		
4837	0,03600	0,00036	0,03564	0,0505	4,11	9,37	0,82		
4838	0,10700	0,00122	0,10578	0,1499	3,24	7,39	2,18		
4839	0,04600	0,00075	0,04525	0,0641	1,31	2,97	1,30		
4840	0,07400	0,00146	0,07254	0,1028	0,86	1,96	2,24		

Гранулометрический и микроагрегатный состав. Гранулометрический и микроагрегатный анализы были выполнены методом пипетки (Качинский, 1943).

Результаты изучения гранулометрического и микроагрегатного анализа приведены в табл. 6 и изображены на кривых распределений (рис. 7).

И. Я. Капица Таблица 5

Կավերի միկրոպրեզատային և գրանուլումբարիկ կազմերը

Микроагрегатный и гранулометрический составы глин

Способ подготовки к анализу	Зернистость и содержание фракций, %						Коэффициент агрегированности частиц
	Песчаные фракции		Размер частиц, м.м.				
№ образцов	Минимальная зернистость	Максимальная зернистость	0,01—0,005	0,005—0,001	0,001—0,0005	<0,0005	
1	0,1—0,05	0,05—0,01	0,005—0,0005	0,0005—0,0001	0,0001—0,00005	<0,00005	<5 μ
2	0,1—0,05	0,05—0,01	0,005—0,0005	0,0005—0,0001	0,0001—0,00005	<0,00005	<1 μ

Միկրոագրեգատների անալիզ

4828	<i>Երկամյա թափանարում</i>	1,16	15,30	63,75	10,00	7,31	2,48	—
4829	<i>Թորած ջրի մեջ</i>	1,03	27,68	56,06	7,48	1,91	5,84	—
4830		1,08	9,07	53,60	18,19	14,16	3,90	—
4831	Двухчасовое взбалтыва-	0,73	14,17	61,85	3,58	15,61	4,06	—
4832	ние в дистиллированной	0,86	14,79	36,60	18,16	25,18	4,41	—
4833	воде	1,12	18,14	13,64	11,21	48,61	7,28	—
4834		1,05	17,10	15,82	22,77	21,18	22,08	—
4835		1,73	9,40	24,76	2,71	48,69	12,71	—
4836		1,46	10,12	31,59	17,29	26,52	13,02	—
4837		0,91	4,08	33,30	21,98	30,66	9,07	—
4738		0,88	10,08	41,01	18,69	26,48	2,86	—
4839		0,92	10,56	31,21	14,24	29,60	13,47	—
4846		1,14	13,67	19,50	17,42	38,95	9,32	—
4847		0,99	11,70	31,25	20,31	25,12	10,63	—

Гранулометрический анализ

3814828	<i>Спринт</i> —растирание + 6 мл $\text{Na}_4\text{P}_2\text{O}_7$	0,15	17,66	49,13	5,30	14,61	13,15	2,8	5,3
3814829	То же	0,23	21,60	56,14	7,86	6,72	7,45	1,8	1,3
3814830	"	0,33	7,29	54,36	10,89	14,67	12,46	1,5	3,2
3814831	"	0,11	3,00	46,97	18,57	19,93	11,42	1,6	2,8
3814832	"	0,08	6,93	30,11	17,08	28,83	16,97	1,5	3,8
3814833	"	0,41	4,27	7,81	9,82	33,30	44,39	1,4	6,1
3814834	"	0,23	1,38	9,67	6,47	32,46	49,79	1,9	2,2
3814835	"	0,75	2,02	4,74	12,90	26,42	53,17	1,3	4,2
3814836	<i>Спринт</i> —растирание + 8 мл $\text{Na}_4\text{P}_2\text{O}_7$	0,34	1,58	21,39	9,04	35,60	32,05	1,7	2,5
3814837	То же	0,34	2,41	25,80	18,83	30,59	22,03	1,3	2,3
3814838	"	0,05	1,56	7,56	20,21	31,85	38,77	2,4	1,4
3814839	<i>Спринт</i> —растирание + 6 мл $\text{Na}_4\text{P}_2\text{O}_7$	0,10	2,90	21,06	12,66	32,03	31,25	1,5	2,4
3814846	То же	0,13	2,35	11,89	18,28	33,38	33,97	1,4	3,7
3814857	"	0,24	3,11	22,19	19,89	25,37	29,20	1,5	2,7

Большинство исследованных образцов озерных глин по гранулометрическому составу являются высокодисперсными породами с содержанием глинистых частиц (меньше 0,005 мм) более 60%.

Сравнение результатов гранулометрического и микроагрегатного анализов показывает, что добавка диспергатора во всех случаях повышает выход глинистой фракции. Содержание грубых и тонких глинистых частиц почти одинаковое. Только в образцах, взятых из верхних толщ (обр. 4828—4832, скв. 133) исследованного разреза, пылеватая фракция доминирует над глинистой. В этих образцах пылеватая фракция составляет 47,19—65,54%, с преобладанием крупнопылеватых частиц. Среди песчаных частиц преобладают тонкопесчаные частицы, песчаные частицы диаметром больше 0,1 мм составляют десятые доли процента.

При микроагрегатном анализе соответственно уменьшению процентного содержания глинистой фракции увеличивается содержание пылеватых и частично песчаных частиц. Пылеватые фракции сложены в основном крупнопылеватыми частицами, причем содержание пылеватых фракций в несколько раз выше, чем песчаных.

Отношение содержания частиц меньше 1 и 5 мк по данным гранулометрического и микроагрегатного анализов (коэффициент агрегированности) позволяет установить характер преобладающих структурных связей в глинах (Горькова, 1965).

Исследованные озерные глины характеризуются пластифицированно-коагуляционными структурными связями (коэффициент агрегированности для частиц меньше 5 мк—1,3—1,8, а для частиц меньше 1 мк—1,3—6,1). Вследствие цементации пород под действием карбоната органического вещества, аморфного кремнезема и гипса, указанные структуры частично приобретают свойства конденсационных структурных связей. Этим, вероятно, и надо объяснить некоторые расхождения величин коэффициента агрегированности озерных глин от установленных И. М. Горьковой для пластифицированно-коагуляционных структур.

ФИЗИЧЕСКОЕ СОСТОЯНИЕ И ФИЗИКО-МЕХАНИЧЕСКИЕ СВОЙСТВА ГЛИН

Для выяснения природы деформационных и прочностных свойств особенностей и механизма структурообразования глинистых пород большое значение имеет выявление характера изменений состояния физико-механических свойств.

Характерные влагосодержание, консистенция и пластичность. Для исследованных озерных глин были определены: 1) естественная влажность; 2) гигроскопическая влажность; 3) пределы пластичности; 4) объемный вес породы γ и удельный вес γ_s ; остальные показатели физических свойств были установлены расчетным путем. Результаты представлены в табл. 7, а по разрезу скв. 133 по этим данным составле-

Կավերի ֆիզիկական վիճակի բնուրագիրը
Характеристика физического состояния глин

Համաշնկրի համար № образцов	Տափական կշիռ Ուժընթացք կշիռ Ուժընթացք 7s	Ծավալային կշիռ Օխոտային վեց Ուժընթացք 7s		Ծավալային մասնակիություն Պորистություն Ելաչություն Վահական պարագաներ		Առաջարկություն Կուտայած առաջարկություն Վահական պարագաներ												
		ապարի պորоды	կմախրի սկелетա 7d	Ծավալային մասնակիություն Պորистություն Ելաչություն Վահական պարագաներ		Առաջարկություն Կուտայած առաջարկություն Վահական պարագաներ												
				բնական պարագաներ	պարագաներ հարաբերական պարագաներ	բնական պարագաներ	պարագաներ հարաբերական պարագաներ	բնական պարագաներ	պարագաներ հարաբերական պարագաներ	բնական պարագաներ	պարագաներ հարաբերական պարագաներ	բնական պարագաներ	պարագաներ հարաբերական պարագաներ					
4828	2,46	1,63	1,05	57,36	1,342	55,1	4,51	1,00	58,6	33,4	25,2	0,94	0,86	0,19	4,5	27,75	0,91	2,13
4829	2,54	1,77	1,28	49,61	0,984	38,1	2,32	0,98	53,1	28,2	24,9	0,72	0,40	0,58	16,4	14,17	1,75	3,72
4830	2,49	1,60	1,00	59,68	1,491	59,1	2,68	0,99	63,7	36,2	27,5	0,93	0,83	0,10	3,9	27,13	1,01	2,34
4831	2,45	1,43	0,88	64,09	1,784	62,6	2,42	0,86	75,0	36,1	38,9	0,83	0,68	0,06	2,6	31,35	1,24	2,40
4832	2,49	1,64	1,07	57,03	1,328	53,1	2,39	0,99	59,9	34,4	25,5	0,90	0,73	0,27	6,8	45,80	0,56	1,29
4833	2,45	1,56	0,96	62,27	1,553	62,0	2,66	0,98	72,6	39,5	33,1	0,85	0,68	0,28	8,3	77,69	0,43	0,93
4834	2,45	1,51	0,92	62,50	1,531	61,5	7,21	0,98	83,0	40,5	42,5	0,74	0,49	0,48	16,5	72,25	0,52	1,01
4835	2,41	1,38	0,83	65,64	1,900	65,0	7,95	0,82	100,0	45,6	54,4	0,65	0,36	0,39	15,2	79,59	0,68	1,25
4836	2,37	1,36	0,80	66,33	1,962	65,4	4,71	0,79	102,0	50,5	51,5	0,65	0,29	0,38	13,4	67,65	0,76	1,51
4837	2,45	1,64	1,11	51,43	1,207	46,6	2,88	0,95	60,2	29,8	30,4	0,78	0,55	0,36	10,5	52,62	0,58	1,14
4838	2,38	1,39	0,95	57,57	1,443	46,9	3,14	0,77	70,0	40,5	29,5	0,59	0,22	0,66	15,3	70,62	0,39	1,12
4839	2,44	1,56	0,97	60,53	1,516	59,5	5,87	0,97	75,0	39,2	35,8	0,80	0,57	0,35	13,3	63,28	0,41	1,19
4846	2,43	1,61	0,97	60,09	1,506	58,0	3,71	0,94	74,5	41,2	33,3	0,78	0,50	0,36	10,4	67,35	0,49	1,10
4847	2,47	1,42	0,87	64,78	1,839	56,7	3,46	0,77	76,0	46,0	30,0	0,75	0,36	0,04	1,4	54,57	0,55	1,41

сводный график изменения состояния исследованных глин с глубиной (рис. 8).

Естественная влажность глин составляет 38,1—65,0%. Величина гигроскопической влажности колеблется от 2,32 до 7,95%.

По данным лабораторных исследований (табл. 7), озерные глины обладают высокими показателями пластичности—число пластичности $I_p = 24,9—54,4\%$, верхний предел пластичности $w_L = 53,1—102,0\%$, что вполне соответствует высокой дисперсности этих глин, их гидрослюдисто-монтмориллонитовому составу с довольно значительным содержанием органического вещества.

Показатель консистенции B изменяется от 0,22 до 0,86, в основном больше 0,50, а относительная влажность w/w_L —от 0,59 до 0,94. Исследованные глины являются породами с высокой степенью водонасыщенности (у всех образцов коэффициент водонасыщенности $K_w > 0,8$).

Определение значения удельного веса γ_s выполнялось в пикнометрах с водой и составляло $2,37—2,54 \text{ г}/\text{см}^3$. Подобный небольшой удельный вес установлен автором также у озерных глин Лениннаканской котловины (Саркисян, 1966) и, вероятно, связан с наличием в исследованных глинах большого количества монтмориллонитовых минералов (уд. вес $2—2,4 \text{ г}/\text{см}^3$) и аморфного кремнезема.

Величины объемного веса исследованных глин изменяются от $1,36$ до $1,77 \text{ г}/\text{см}^3$. Почти для всех исследованных образцов величина пористости больше 50% (табл. 7), за исключением обр. 4829 ($n=49,61\%$).

По величине K_d озерные глины находятся в потенциально пластичном состоянии, средауплотнены (ближе к породам слабой степени уплотненности) и при нарушении структуры породы в них могут проявляться пластические деформации. Степень сжатия слоя K_c в процентах (Приклонский, 1947) составляет $1,4—16,5\%$.

Приведенные показатели физического состояния и физических свойств озерных глин (рис. 10) позволяют по разрезу скв. 133 выделить две зоны: до глубины 53,0 м (обр. 4835) указанные показатели физико-механических свойств отличаются изменчивостью, а глубже они почти не изменяются.

Набухание и размокание. Изучение набухания и размокания исследованных глин выполнялось на образцах естественной влажности и ненарушенной структуры. Набухание определялось в приборе А. М. Васильева; результаты опытов приведены в табл. 8. Величина набухания глин невелика и составляет десятые, реже сотые доли процента. Удельное набухание (величина набухания при увеличении влажности на 1%) составляет $0,01—0,07\%$, только у образца 4829 оно достигает $0,11\%$.

В связи с содержанием карбонатов, аморфного кремнезема и органического вещества в породах образуются коагуляционно-кристаллизационные связи, поэтому, несмотря на гидрослюдисто-монтмориллонитовый состав, набухание глин незначительное—не превышает $0,72\%$.

Размокание определялось в приборе ПР конструкции Д. И. Знаменского—В. И. Хаустова (Чаповский, 1958). Результаты наблюдений за скоростью размокания говорят о слабой размокаемости озерных глин (табл. 8).

Կավերի ուղղութեաց բարձրութիւնը գույքի մասին
Набухание и размокание глин в воде

№ образца	Изучаемый показатель размокаемости, %	Показатель набухания, %	Показатель размокаемости влажности набухания, %	Показатель размокаемости прироста влажности при набухании, %	Показатель размокаемости при отсутствии набухания	Характер размо- кания
4828	55,1	0,08	57,1	2,0	0,04	+++
4829	38,1	0,72	44,8	6,7	0,11	+++
4830	59,1	0,10	61,4	2,3	0,01	++
4831	62,6	0,10	63,9	1,3	0,01	++
4832	53,1	0,12	54,8	1,7	0,01	++
4833	62,0	0,31	68,0	6,0	0,05	++
4834	61,5	0,04	62,1	0,6	0,07	++
4835	65,0	0,08	68,4	3,4	0,02	++
4836	65,4	0,10	69,3	3,9	0,03	++
4837	46,6	0,10	49,2	2,6	0,04	++
4838	46,9	0,09	50,5	3,6	0,03	++
4839	59,5	0,24	66,2	6,7	0,04	++

Դանարկութեաց. — Դանարկութեաց է շատ թույլ (ճեղքերի առաջացում, առանձին կտորների անջատում):

+ Նմուշը թրջվում է թույլ (անջատվում են կտորներ, բայց նմուշը հիմնականում մնում է զորդերի ցանցի վրա):

Примечание.—образец размокает очень слабо (образование трещин, выделение одиночных кусочков);

+ образец размокает слабо (выделяются куски, но в основном образец остается на сетке прибора).

Сжимаемость глин. Сжимаемость и коэффициент фильтрации озерных глин определены на образцах с ненарушенной структурой и естественной влажностью в комфильтрете конструкции Г. И. Тер-Степаняна (1956).

Полученные данные графически изображены на рис. 9.

По величине коэффициента сжимаемости a в интервале нагрузок от 1 до $2 \text{ кг}/\text{см}^2$ исследованные глины относятся к среднесжимаемым породам: величина a у них порядка $0,01 \text{ см}^2/\text{кг}$. У большинства образцов обжатие начинается при нагрузке $0,25 \text{ кг}/\text{см}^2$, что объясняется наличием значительного количества грубодисперсных частиц в агрегатном составе исследованных глин (см. табл. 6).

Согласно значениям упругих и остаточных деформаций (при $P=0,25 \text{ кг}/\text{см}^2$), при разгрузке от 4 до $0,25 \text{ кг}/\text{см}^2$ происходит восстановление более 91,75% деформации сжатия.

Модуль осадки I (Маслов, 1949), характеризующий осадку слоя породы мощностью 1 м под данной нагрузкой, при $P=4 \text{ кг}/\text{см}^2$ составляет $1,5-23,6 \text{ мм}/\text{м}$.

Коэффициент фильтрации k определяется в процессе компрессионного опыта после стабилизации под данной нагрузкой (до $4 \text{ кг}/\text{см}^2$), а также после разгрузки (начиная от нагрузки 4 и до $0,25 \text{ кг}/\text{см}^2$). Расчет коэффициента фильтрации при движении воды вверх произведен по nomogramme Г. И. Тер-Степаняна (1960) и в среднем равен $10^{-7}-10^{-8} \text{ см}/\text{сек}$ (табл. 9), т. е. по величинам k исследованные глины практически являются водоупорными породами.

Часть II Таблица 9

Число фильтрации k в зависимости от нагрузки, $\text{кг}/\text{см}^2$
Величины коэффициента фильтрации глин, $\text{см}/\text{сек}$

$P_{\text{нагрузка}}$, $\text{кг}/\text{см}^2$	$\text{Число } k \text{ в зависимости от нагрузки}$			
	Номера и глубина отбора образцов, м			
$P_{\text{нагрузка}}$ — нагрузка	4835; 53,0	4837; 67,5	4846; 98,0	4847; 101,0
0,25	$5,0 \cdot 10^{-7}$	$2,3 \cdot 10^{-7}$	$1,1 \cdot 10^{-6}$	$5,0 \cdot 10^{-7}$
0,50	$3,8 \cdot 10^{-7}$	$9,2 \cdot 10^{-8}$	$5,2 \cdot 10^{-7}$	$1,6 \cdot 10^{-7}$
1,00	$1,9 \cdot 10^{-7}$	$1,4 \cdot 10^{-7}$	$9,0 \cdot 10^{-7}$	$3,6 \cdot 10^{-7}$
2,00	$2,0 \cdot 10^{-7}$	$7,2 \cdot 10^{-8}$	$6,0 \cdot 10^{-7}$	$6,4 \cdot 10^{-7}$
4,00	$7,6 \cdot 10^{-8}$	$2,8 \cdot 10^{-8}$	$3,8 \cdot 10^{-7}$	$5,6 \cdot 10^{-7}$
$P_{\text{разгрузка}}$ — разгрузка				
4,00	$6,8 \cdot 10^{-8}$	$1,6 \cdot 10^{-8}$	$2,6 \cdot 10^{-8}$	$4,2 \cdot 10^{-7}$
2,00	$1,1 \cdot 10^{-7}$	$2,6 \cdot 10^{-8}$	$3,2 \cdot 10^{-7}$	$1,1 \cdot 10^{-7}$
1,00	$1,1 \cdot 10^{-7}$	$4,4 \cdot 10^{-8}$	$6,8 \cdot 10^{-7}$	$6,6 \cdot 10^{-8}$
0,50	$1,2 \cdot 10^{-7}$	$2,2 \cdot 10^{-8}$	$2,2 \cdot 10^{-7}$	$4,2 \cdot 10^{-7}$
0,25	$1,1 \cdot 10^{-7}$	$1,4 \cdot 10^{-8}$	$9,2 \cdot 10^{-8}$	$6,2 \cdot 10^{-7}$

Трехосное сжатие. Для определения сопротивления сдвигу исполь- зован метод трехосного сжатия, по которому возможен одновременный контроль условий дренирования и измерения порового давления.

Испытание на трехосное сжатие осуществлялось на приборе Бишопа (Бишоп и Хенкель, 1961). Для исследованных глин применялись монолиты диаметром 38 и высотой 75 мм. Сопротивление сдвигу озерных глин изучено для образцов 4833 и 4834, взятых соответственно из глубины 45,5 и 48,0 м. Проводились консолидированно-недренированные испытания водонасыщенных пород с естественной структурой.

Результаты трехосных испытаний приведены в табл. 10. Определены величины показателей сопротивления сдвигу (цепление и угол внутреннего трения) и порового давления. Круги Мора для исследованных образцов с различными величинами уплотняющего давления, выраженные через полные и эффективные напряжения, приведены на рис. 10.

Как видно из приведенных в табл. 10 данных, оба коэффициента сцепления (c и c') близки по величине ($c=0,85-1,00 \text{ кг}/\text{см}^2$, $c'=0,90-1,05 \text{ кг}/\text{см}^2$). Для исследованных образцов угол внутреннего трения $\varphi' > \varphi$ ($\varphi = 13^\circ 40'-16^\circ 42'$, $\varphi' = 14^\circ 58'-17^\circ 22'$).

Ц պ յ ս լ ո ւ թ կ Գ ա բ լ ի պ ա 10

Կավերի նախանդ գործարկման աղյուսներ

Результаты трехосных испытаний глин

Номер образца	Глубина отбора образца, м	Давление в камере, кг/см ²	Дополн. осевое напряжение, кг/см ²	Избыточное напряжение, кг/см ²		Эффективные напряжения, кг/см ²		Сцепление, кг/см ²	Угол внутреннего трения		
				σ'_3	σ'_1	c'	φ'				
4833	45,5	1	3,57	4,57	0,139	0,861	4,431	4,3	1,00	16°42'	17°22'
		2	5,46	7,54	0,261	1,739	7,279	5,3			
		4	5,98	9,98	0,465	3,535	9,515	7,0			
4834	48,0	1	2,71	3,71	0,358	0,642	3,352	4,7	0,85	13°40'	14°58'
		4	4,69	8,69	0,881	3,119	7,809	6,7			

СТРУКТУРНО-МЕХАНИЧЕСКИЕ И РЕОЛОГИЧЕСКИЕ СВОЙСТВА ГЛИН

Для выяснения природы прочности и деформационного поведения глин, для выявления зависимости свойств пород от их состава и состояния важное значение имеют исследования реологических и структурно-механических свойств при помощи методов физико-химической механики дисперсных систем.

Структурно-механические свойства глин с естественной структурой изучены на сдвиговом приборе Маслова по методу определения кинетики развития деформаций при постоянных, возрастающих от опыта к опыту, напряжениях сдвига с последующей мгновенной разгрузкой. Исследовались образцы с естественной влажностью при различных определенных напряжениях сдвига в диапазоне от предела текучести P_{k-1} до предела прочности P_m . По полученным семействам кривых зависимости $\varepsilon = f(t)$ при $P = \text{const}$ рассчитаны все величины, характеризующие структурно-механические свойства озерных глин. Полученные результаты приведены в табл. 11 и на рис. 10—12.

Согласно структурно-механическим исследованиям, почти во всех образцах деформации в озерных глинах начинаются при действующих напряжениях сдвига $(2,4-61) \cdot 10^3 \text{ дин}/\text{см}^2$ (за исключением обр. 4836—4839 $\cdot 10^2 \text{ дин}/\text{см}^2$), а лавинное разрушение структуры происходит при напряжениях, больших, чем $(1,0-7,1) \cdot 10^4 \text{ дин}/\text{см}^2$. Величина отношения P_m/P_{k-1} колеблется от 4,4 до 20, причем по глубине (скв. 133, обр. 4828—4836) наблюдается увеличение величины отношения, т. е. после раз-

Բնական ստուգութեայով ապաբերի ստուգութեա
Структурно-механические свойства пород

Համար № обраծութեայութեա	W %	$\frac{W}{WL}$	P_{n-1}	P	E_1	E	E_2
				喟/մ ²	дин/см ²		
4828	50.4	0.86	$3.7 \cdot 10^3$	$3.7 \cdot 10^3$	$1.8 \cdot 10^6$	$1.8 \cdot 10^5$	$1.9 \cdot 10^5$
	48.5	0.83		$7.3 \cdot 10^3$	$1.1 \cdot 10^6$	$2.7 \cdot 10^5$	$3.7 \cdot 10^5$
	50.3	0.86		$1.7 \cdot 10^4$	$4.2 \cdot 10^5$	—	—
4831	52.2	0.98	$3.7 \cdot 10^3$	$3.7 \cdot 10^6$	$1.8 \cdot 10^6$	$4.1 \cdot 10^5$	$5.2 \cdot 10^5$
	54.8	1.03		$7.3 \cdot 10^3$	$5.5 \cdot 10^5$	$2.1 \cdot 10^5$	$5.3 \cdot 10^5$
	55.3	1.04		$2.7 \cdot 10^4$	$6.7 \cdot 10^5$	—	—
4832	54.0	0.90	$3.7 \cdot 10^3$	$3.7 \cdot 10^3$	$5.5 \cdot 10^6$	$5.5 \cdot 10^5$	$6.1 \cdot 10^5$
	53.3	0.89		$6.1 \cdot 10^3$	$1.5 \cdot 10^6$	$4.6 \cdot 10^5$	$6.9 \cdot 10^5$
	53.6	0.89		$1.7 \cdot 10^4$	$3.9 \cdot 10^5$	—	—
4833	60.6	0.83	$2.4 \cdot 10^3$	$2.4 \cdot 10^3$	$3.7 \cdot 10^6$	$5.9 \cdot 10^5$	$7.1 \cdot 10^5$
	62.2	0.86		$7.3 \cdot 10^3$	$3.6 \cdot 10^6$	$8.5 \cdot 10^5$	$1.1 \cdot 10^6$
	64.0	0.88		$2.4 \cdot 10^4$	$1.7 \cdot 10^6$	—	—
4834	61.4	0.74	$2.4 \cdot 10^3$	$2.4 \cdot 10^3$	$9.2 \cdot 10^5$	$2.4 \cdot 10^5$	$3.4 \cdot 10^5$
	62.5	0.75		$8.3 \cdot 10^3$	$6.6 \cdot 10^5$	$3.1 \cdot 10^5$	$5.7 \cdot 10^5$
	61.3	0.74		$1.1 \cdot 10^4$	$6.4 \cdot 10^5$	—	—
4835	54.7	0.55	$2.4 \cdot 10^3$	$2.4 \cdot 10^3$	$3.1 \cdot 10^6$	$9.2 \cdot 10^6$	$1.3 \cdot 10^6$
	53.5	0.53		$3.7 \cdot 10^3$	$2.5 \cdot 10^6$	$2.4 \cdot 10^6$	$2.8 \cdot 10^6$
	55.2	0.55		$2.2 \cdot 10^4$	$3.1 \cdot 10^6$	—	—
4836	62.4	0.56	$4.9 \cdot 10^2$	$4.9 \cdot 10^1$	$1.5 \cdot 10^5$	$6.1 \cdot 10^4$	$6.7 \cdot 10^4$
	63.7	0.57		$2.4 \cdot 10^3$	$3.7 \cdot 10^3$	$8.1 \cdot 10^5$	$1.1 \cdot 10^5$
	61.6	0.55		$1.0 \cdot 10^4$	$4.5 \cdot 10^5$	—	—
4837	41.5	0.69	$2.4 \cdot 10^3$	$2.4 \cdot 10^3$	$7.4 \cdot 10^5$	$2.3 \cdot 10^5$	$4.5 \cdot 10^5$
	40.6	0.67		$4.9 \cdot 10^3$	$6.7 \cdot 10^5$	$2.4 \cdot 10^5$	$3.9 \cdot 10^5$
	42.3	0.70		$2.2 \cdot 10^4$	$3.9 \cdot 10^5$	—	—
4838	42.5	0.61	$2.4 \cdot 10^3$	$2.4 \cdot 10^3$	$1.9 \cdot 10^6$	$2.4 \cdot 10^5$	$2.8 \cdot 10^5$
	41.3	0.59		$6.1 \cdot 10^3$	$1.6 \cdot 10^6$	$6.1 \cdot 10^6$	$2.3 \cdot 10^6$
	42.2	0.60		$1.1 \cdot 10^4$	$1.3 \cdot 10^5$	—	—
4846	52.0	0.70	$7.3 \cdot 10^3$	$7.3 \cdot 10^3$	$1.4 \cdot 10^7$	$1.4 \cdot 10^6$	$1.6 \cdot 10^6$
	54.4	0.73		$1.2 \cdot 10^4$	$9.2 \cdot 10^6$	$4.1 \cdot 10^5$	$7.4 \cdot 10^5$
	53.7	0.72		$7.1 \cdot 10^4$	$2.7 \cdot 10^6$	—	—
4847	56.3	0.74	$6 \cdot 10 \cdot 10^3$	$6 \cdot 1 \cdot 10^3$	$1.2 \cdot 10^7$	$7.7 \cdot 10^5$	$8.2 \cdot 10^5$
	56.0	0.74		$1.7 \cdot 10^4$	$6.4 \cdot 10^5$	$3.7 \cdot 10^5$	$8.5 \cdot 10^5$
	56.2	0.74		$3.7 \cdot 10^4$	$8.6 \cdot 10^5$	—	—

Итоги и таблица 11

Литература по определению физических свойств

самых распространенных пород с естественной структурой

λ	P_m	E_1 по разгр.	$\frac{P_m}{P_{k-1}}$	τ_0 показ. пуаз,	Θ фри сек.
	$\eta \text{НГ/м}^2$ дин/см^2				
0,90	—	$2,8 \cdot 10^7$	—	$4,9 \cdot 10^{10}$	$2,7 \cdot 10^5$
0,75	—	$5,5 \cdot 10^6$	—	$3,4 \cdot 10^{10}$	$1,3 \cdot 10^5$
—	$1,7 \cdot 10^4$	—	4,6	—	—
0,77	—	$2,8 \cdot 10^7$	—	$1,5 \cdot 10^{11}$	$3,7 \cdot 10^5$
0,62	—	$5,5 \cdot 10^6$	—	$1,1 \cdot 10^{10}$	$5,2 \cdot 10^4$
—	$2,7 \cdot 10^4$	—	7,3	—	—
0,48	—	$1,4 \cdot 10^7$	—	$1,0 \cdot 10^{11}$	$1,8 \cdot 10^5$
0,69	—	$8,4 \cdot 10^6$	—	$9,7 \cdot 10^{10}$	$2,1 \cdot 10^5$
—	$1,7 \cdot 10^4$	—	4,6	—	—
0,84	—	$1,9 \cdot 10^7$	—	$1,8 \cdot 10^{11}$	$3,0 \cdot 10^5$
0,77	—	$5,7 \cdot 10^7$	—	$1,1 \cdot 10^{11}$	$6,5 \cdot 10^5$
—	$2,4 \cdot 10^4$	—	10	—	—
0,73	—	$4,6 \cdot 10^6$	—	$1,3 \cdot 10^{10}$	$5,4 \cdot 10^4$
0,54	—	$6,3 \cdot 10^6$	—	$1,0 \cdot 10^{11}$	$3,2 \cdot 10^5$
—	$1,1 \cdot 10^4$	—	4,4	—	—
0,71	—	$3,4 \cdot 10^7$	—	$1,7 \cdot 10^{11}$	$1,8 \cdot 10^5$
0,89	—	$2,8 \cdot 10^7$	—	$5,1 \cdot 10^{10}$	$2,1 \cdot 10^5$
—	$2,2 \cdot 10^4$	—	9,2	—	—
0,68	—	$7,3 \cdot 10^5$	—	$5,4 \cdot 10^9$	$8,9 \cdot 10^4$
0,77	—	$4,6 \cdot 10^6$	—	$1,5 \cdot 10^{10}$	$1,6 \cdot 10^5$
—	$1,0 \cdot 10^4$	—	20	—	—
0,62	—	$1,9 \cdot 10^7$	—	$4,4 \cdot 10^{10}$	$1,6 \cdot 10^5$
0,63	—	$7,4 \cdot 10^6$	—	$8,3 \cdot 10^{10}$	$3,5 \cdot 10^5$
—	$2,2 \cdot 10^4$	—	10	—	—
0,87	—	$1,9 \cdot 10^7$	—	$1,4 \cdot 10^{11}$	$5,8 \cdot 10^5$
0,70	—	$4,6 \cdot 10^7$	—	$1,1 \cdot 10^{11}$	$1,8 \cdot 10^5$
—	$1,1 \cdot 10^4$	—	4,6	—	—
0,90	—	$5,5 \cdot 10^7$	—	$2,1 \cdot 10^{10}$	$1,5 \cdot 10^4$
0,56	—	$2,3 \cdot 10^7$	—	$7,0 \cdot 10^{10}$	$1,7 \cdot 10^5$
—	$7,1 \cdot 10^4$	—	9,7	—	—
0,94	—	$6,6 \cdot 10^6$	—	$1,7 \cdot 10^{10}$	$2,2 \cdot 10^4$
0,43	—	$1,4 \cdot 10^6$	—	$6,2 \cdot 10^9$	$1,7 \cdot 10^4$
—	$3,7 \cdot 10^4$	—	6	—	—

грузки в более широком интервале напряжений происходит тиксотропное восстановление структуры.

Значения модулей упругости исследованных глин довольно близки и равны в среднем $10^5 - 10^6$ дин/см². С возрастанием действующих напряжений наблюдается закономерный спад значений условно-мгновенного модуля деформации E_1 и равновесного модуля E в пределах одного десятичного порядка, вследствие разрушения структурных связей в процессе деформирования. Сопоставление величин эластичности λ у образцов, отобранных из скв. 133, указывает на относительное уменьшение эластических свойств пород с глубиной.

При мгновенном разгружении исследованных образцов полный спад деформаций не наблюдался, что позволило подсчитать модуль упругости по разгрузке и вязкость. Для всех образцов наблюдается увеличение условно-мгновенного модуля деформации E_1 при разгрузке по сравнению с тем же модулем при нагрузке, что свидетельствует об уплотнении и синеретическом упрочнении глин в зоне сдвига и затухании деформации при длительном воздействии постоянно действующего напряжения.

Подобный эффект наблюдали также Горькова и Рябичева (1959), Аносова (1966) и Саркисян (1966). Это объясняется (Попов, 1944; Райтбурд, 1956 и др.) уплотнением и ориентацией глинистых частиц в плоскости сдвига по наибольшей площади их соприкосновения при нарушении структуры глин.

По графикам зависимости условно-мгновенной упругой (ε_0) и наибольшей упругой (ε_m) деформаций от действующего напряжения сдвига (рис. 11—12) хорошо видно, что исследованные глины обладают слабыми упругими свойствами, несмотря на высокие величины модулей деформации. Указанное обстоятельство, вероятно, объясняется присутствием в породах органического вещества, придающего породе признаки конденсационных структурных связей.

Исследованные образцы с естественной структурой отличаются достаточно высокой вязкостью τ_0 — в среднем десятого—одиннадцатого порядка и обладают способностью к течению типа ползучести без заметного разрушения структуры, вследствие упрочнения структуры при течении. Период релаксации исследованных глин в среднем равняется $10^4 - 10^5$ сек.

Таким образом, метод определения структурно-механических свойств при помощи сдвигового прибора Маслова позволяет характеризовать деформационное поведение естественных структур озерных глин.

Реологические свойства. Исследование реологических свойств озерных глин проводилось на ротационном вискозиметре Воларовича на пастах при верхнем пределе пластичности методом получения полной реологической кривой с последующим снятием напряжений ($N=f(p)$) и кривых зависимости эффективной вязкости от действующего напряжения сдвига ($\tau=f(p)$).

Աղյուսակ Տաблица 12

Կավերի և ուղղված բնուրագիրը
Реологическая характеристика глин

Համարական № образцов	W наст. %	$\frac{W}{W_L}$	P_{k-1}	P'_r	P_{k-2}	P_m	$\frac{P_m}{P_{k-1}}$	$\frac{P_m}{P_{k-2}}$	γ_{t0}	γ_{tm}	$\frac{\gamma_{t0}}{\gamma_{tm}}$	γ_{t0}^*	γ_{tm}^*	$\frac{\gamma_{t0}^*}{\gamma_{tm}^*}$	Մարուկտուրայի վերա- կանգնման ընույթը Характер восстановле- ния структуры	
			ηին/սմ ² дин/см ²						պուազ			պուազ				
4828	58,7	1,00	$1,1 \cdot 10^3$	$1,8 \cdot 10^4$	$1,4 \cdot 10^4$	$2,2 \cdot 10^4$	20	1,6	$6,3 \cdot 10^2$	79	8	$6,2 \cdot 10^3$	$1,4 \cdot 10^3$	4,4	Հիստերիզիս—гистерезис	
4830	61,8	0,97	$2,5 \cdot 10^3$	$2,6 \cdot 10^4$	$1,2 \cdot 10^4$	$3,2 \cdot 10^4$	12,8	2,7	$3,5 \cdot 10^2$	112	3,1	$5,9 \cdot 10^3$	$3,5 \cdot 10^3$	1,7	Նորմա—то же	
4831	69,1	0,92	$5,7 \cdot 10^3$	$2,9 \cdot 10^4$	$2,3 \cdot 10^4$	$3,2 \cdot 10^4$	5,6	1,4	$3,6 \cdot 10^3$	106	34	$5,7 \cdot 10^3$	$1,4 \cdot 10^3$	4,1	" " "	
4832	60,9	1,02	$4,8 \cdot 10^3$	$1,7 \cdot 10^4$	$2,1 \cdot 10^4$	$3,2 \cdot 10^4$	6,7	1,5	$4,6 \cdot 10^3$	128	36	$9,4 \cdot 10^3$	$1,4 \cdot 10^3$	6,7	" " "	
4833	71,8	0,99	$8,0 \cdot 10^3$	$3,9 \cdot 10^4$	$6,3 \cdot 10^4$	$7,1 \cdot 10^4$	8,9	1,1	$7,8 \cdot 10^3$	229	32	$4,7 \cdot 10^4$	$1,3 \cdot 10^3$	36	Փոքր հիստերիզիս—малый гистерезис	
4834	81,0	0,98	$1,2 \cdot 10^4$	$4,7 \cdot 10^4$	$6,2 \cdot 10^4$	$6,9 \cdot 10^4$	5,7	1,1	$6,7 \cdot 10^4$	193	347	$5,7 \cdot 10^4$	$9,3 \cdot 10^3$	6,1	Հիստերիզիս—гистерезис	
4837	56,4	0,94	$7,0 \cdot 10^3$	$5,6 \cdot 10^3$	$6,7 \cdot 10^4$	$7,4 \cdot 10^4$	10,6	1,1	$3,5 \cdot 10^4$	245	143	$5,9 \cdot 10^3$	$1,1 \cdot 10^3$	5,4	Նորմա—то же	
4846	73,5	0,99	$4,5 \cdot 10^3$	$3,4 \cdot 10^4$	$2,8 \cdot 10^4$	$3,9 \cdot 10^4$	8,6	1,4	$4,2 \cdot 10^3$	169	25	$1,3 \cdot 10^4$	$2,4 \cdot 10^3$	5,4	" " "	
4847	76,3	1,00	$8,1 \cdot 10^3$	$2,9 \cdot 10^4$	$2,8 \cdot 10^4$	$4,0 \cdot 10^4$	4,9	1,4	$1,4 \cdot 10^3$	151	9,3	$1,0 \cdot 10^4$	$2,4 \cdot 10^3$	4,2	" " "	

Вискозиметр позволяет исследовать изменение скорости деформации паст во всем интервале напряжений—от условного статического предела текучести P_{k-1} до предела прочности P_m при постепенном нарастании действующего напряжения сдвига, в особенности при наибольшей степени их разрушения.

Полученные характеристики реологических свойств представлены в табл. 12 и на рис. 13. Деформации наблюдаются при действующих напряжениях сдвига порядка 10^3 — 10^4 дин/см², а лавинное разрушение структуры происходит при напряжениях выше $P_m = (2,2—7,4) \cdot 10^4$ дин/см². При снятии напряжений у большинства образцов исследованных глин проявляется гистерезис. Следовательно, для озерных глин характерен гистерезис восстановления структурной сетки.

Исследованные породы, являющиеся водонасыщенными и имеющие малопрочный структурный каркас, способны внезапно разжигаться в довольно узком интервале напряжений выше динамического предела текучести P_{k-2} ($P_m/P_{k-2} = 1,1—1,6$, только у обр. 4830—2,7). Эти породы выше предела прочности текут с наименьшей постоянной вязкостью (вязкость предельно нарушенных структур) $\eta_m^* = 79—229$ пуз. При предельном разрушении структуры вязкость падает на два-три порядка ($\eta_0/\eta_m^* = 3,1—347$, отношение, характеризующее степень разрушения структуры при механическом воздействии).

На реологических кривых область шведовской вязкости η_0^* соответствует прямолинейному участку между P_{k-1} и P'_r , т. е. η_0^* определяет свойства глин в области достаточно малых напряжений. Значения η_0^* колеблются от $5,7 \cdot 10^3$ до $5,7 \cdot 10^4$ пуз. В этом интервале паста течет с практически неразрушенной структурой. Далее на кривых наблюдается резкий перегиб на участке $P'_r—P_{k-2}$, с последующим отрезком, отвечающим бингамовской вязкости η_m^* , которая характеризует область высоких напряжений. Величина $\eta_m^* = (1,1—9,3) \cdot 10^3$ пуз. Отношение η_0^*/η_m^* для озерных глин колеблется от 1,7 до 36 и характеризует подвижность их, следовательно, исследованные образцы отличаются достаточной подвижностью.

Подытоживая изложенное о реологических исследованиях, можно заключить, что озерные глины по характеру реологических кривых относятся к группе пластично-вязких систем.

ВЫВОДЫ

В результате исследований озерных глинистых пород Ааратской котловины установлена однородность минерального состава—гидрослюдисто-монтмориллонитового с преобладанием монтмориллонита, обуславливающего, в основном, физические и химические свойства глини. В глинах образование монтмориллонита и аморфного кремнезема способствовала активная вулканическая деятельность наряду с отложением осадка, что приводило к обогащению последнего вулканическим материалом.

Г) По гранулометрическому составу исследованные глины, сцементированные карбонатами, аморфным кремнеземом и, частично, органическим веществом, являются высокодисперсными породами (переходными к насыщенным по микроагрегатному составу), а структурные связи имеют нестабилизированно-коагуляционный характер, с признаками конденсационных связей.

Д) При литологической однородности озерные глины отличаются изначивостью физического состояния по глубине.

Е) Исследованные глины среднесжимаемы и практически водоупорны. Результатам, полученным при помощи методов определения структурно-механических и реологических свойств, озерные глины по своему состоянию являются переходными между породами слабой и средней степени уплотнения и литификации по классификации И. М. Горьковой (1966).

Д) Для исследованных глин характерен гистерезис восстановления структурной сетки. Эти породы, являющиеся водонасыщенными и имеющие малопрочный структурный каркас, способны внезапно разжигаться в довольно узком интервале напряжений выше динамического предела текучести. Согласно компрессионным и структурно-механическим исследованиям, озерные глины обладают структурной прочностью. Отличительной особенностью изученных глин являются высокие величины модулей деформации при невысокой упругости. Деформационное поведение озерных глин с естественной и нарушенной структурами значительно различается (табл. 13).

Таблица 13

Сравнение свойств естественных и нарушенных структур глин

Структура	w, %	P_{k-1}	P_m	τ_0 , пуаз
		дин/см ²	дин/см ²	
естественная	40,6—64,0	$4,9 \cdot 10^3$ — $7,3 \cdot 10^3$	$1,0 \cdot 10^4$ — $7,1 \cdot 10^4$	$5,4 \cdot 10^9$ — $1,8 \cdot 10^{11}$
нарушенная	56,4—76,3	$1,1 \cdot 10^3$ — $1,2 \cdot 10^4$	$2,2 \cdot 10^4$ — $7,4 \cdot 10^4$	$3,5 \cdot 10^3$ — $6,7 \cdot 10^4$

И) Естественные структуры при малых напряжениях, являясь эластично-пластично-вязкими телами, в дальнейшем, по мере старения и уплотнения, переходят в группу пластично-вязких.

Д) При нарушенной же структуре озерные глины по своему реологическому поведению относятся к пластично-вязким телам с высоким значением отношения начальной вязкости к конечной.

Е) Проведенные исследования еще раз показывают необходимость комплексной количественной характеристики глинистых пород.

Вискозиметр позволяет исследовать изменение скорости деформации паст во всем интервале напряжений—от условного статического предела текучести P_{k-1} до предела прочности P_m при постепенном нарастании действующего напряжения сдвига, в особенности при наибольшей степени их разрушения.

Полученные характеристики реологических свойств представлены в табл. 12 и на рис. 13. Деформации наблюдаются при действующих напряжениях сдвига порядка 10^3 — 10^4 дин/см², а лавинное разрушение структуры происходит при напряжениях выше $P_m = (2,2\text{---}7,4) \cdot 10^4$ дин/см². При снятии напряжений у большинства образцов исследованных глин проявляется гистерезис. Следовательно, для озерных глин характерен гистерезис восстановления структурной сетки.

Исследованные породы, являющиеся водонасыщенными и имеющие малопрочный структурный каркас, способны внезапно разжигаться в довольно узком интервале напряжений выше динамического предела текучести P_{k-2} ($P_m/P_{k-2} = 1,1\text{---}1,6$, только у обр. 4830—2,7). Эти породы выше предела прочности текут с наименьшей постоянной вязкостью (вязкость предельно нарушенных структур) $\eta_m = 79\text{---}229$ пуз. При предельном разрушении структуры вязкость падает на два-три порядка ($\eta_0/\eta_m = 3,1\text{---}347$, отношение, характеризующее степень разрушения структуры при механическом воздействии).

На реологических кривых область шведовской вязкости η_0^* соответствует прямолинейному участку между P_{k-1} и P'_r , т. е. η_0^* определяет свойства глин в области достаточно малых напряжений. Значения η_0^* колеблются от $5,7 \cdot 10^3$ до $5,7 \cdot 10^4$ пуз. В этом интервале паста течет с практически неразрушенной структурой. Далее на кривых наблюдается резкий перегиб на участке P'_r — P_{k-2} , с последующим отрезком, отвечающим бингамовской вязкости η_m , которая характеризует область высоких напряжений. Величина $\eta_m^* = (1,1\text{---}9,3) \cdot 10^3$ пуз. Отношение η_0^*/η_m^* для озерных глин колеблется от 1,7 до 36 и характеризует подвижность их, следовательно, исследованные образцы отличаются достаточной подвижностью.

Подытоживая изложенное о реологических исследованиях, можно заключить, что озерные глины по характеру реологических кривых относятся к группе пластично-вязких систем.

ВЫВОДЫ

В результате исследований озерных глинистых пород Арагатской котловины установлена однородность минерального состава—гидрослюдисто-монтмориллонитового с преобладанием монтмориллонита, обуславливающего, в основном, физические и химические свойства глины. В глинах образование монтмориллонита и аморфного кремнезема способствовала активная вулканическая деятельность наряду с отложением осадка, что приводило к обогащению последнего вулканическим материалом.

По гранулометрическому составу исследованные глины, сцепленные карбонатами, аморфным кремнеземом и, частично, органическим веществом, являются высокодисперсными породами (переходными к смешанным по микроагрегатному составу), а структурные связи имеют пластифицированно-каогуляционный характер, с признаками конденсационных связей.

При литологической однородности озерные глины отличаются изменчивостью физического состояния по глубине.

Исследованные глины среднесжимаемы и практически водоупорны. По результатам, полученным при помощи методов определения структурно-механических и реологических свойств, озерные глины по своему состоянию являются переходными между породами слабой и средней степени уплотнения и литификации по классификации И. М. Горьковой (1966).

Для исследованных глин характерен гистерезис восстановления структурной сетки. Эти породы, являющиеся водонасыщенными и имеющие малопрочный структурный каркас, способны внезапно разжигаться в довольно узком интервале напряжений выше динамического предела текучести. Согласно компрессионным и структурно-механическим исследованиям, озерные глины обладают структурной прочностью. Отличительной особенностью изученных глин являются высокие величины модулей деформации при невысокой упругости. Деформационное поведение озерных глин с естественной и нарушенной структурами значительно различается (табл. 13).

Таблица 13
Сравнение свойств естественных и нарушенных структур глин

Структура	w, %	P_{k-1}	P_m	τ_0 , пуаз
		дин/см ²	дин/см ²	
Естественная	40,6—64,0	$4,9 \cdot 10^2$ — $7,3 \cdot 10^3$	$1,0 \cdot 10^4$ — $7,1 \cdot 10^4$	$5,4 \cdot 10^9$ — $1,8 \cdot 10^{11}$
Наруженная	56,4—76,3	$1,1 \cdot 10^3$ — $1,2 \cdot 10^4$	$2,2 \cdot 10^4$ — $7,4 \cdot 10^4$	$3,5 \cdot 10^2$ — $6,7 \cdot 10^4$

Естественные структуры при малых напряжениях, являясь эластично-пластично-вязкими телами, в дальнейшем, по мере старения и уплотнения, переходят в группу пластично-вязких.

При нарушенной же структуре озерные глины по своему реологическому поведению относятся к пластично-вязким телам с высоким значением отношения начальной вязкости к копечной.

Проведенные исследования еще раз показывают необходимость комплексной количественной характеристики глинистых пород.

ENGINEERING-GEOLOGICAL FEATURES OF LOWER QUARTERNARY LAKE CLAYS OF THE CENTRAL PART OF THE ARARAT VALLEY

Cand. Geol. Miner. Sc. DIMITRY SARKISSIAN*

Abstract. As a result of our investigations of lake clays of the Ararat valley the homogeneity of the mineral composition of hydromica-montmorillonite has been established with predominance of montmorillonite on which the physical and chemical properties of clay depend. The formation of montmorillonite and amorphous silica in clays was promoted by intensive volcanic activity which proceeded together with the deposition of the sediments as a result of which the latter became rich with volcanic material.

As to their granulometric composition investigated clays are highly disperse rocks, whereas their structural connections have plasticized-coagulation character with signs of condensation connections.

The characteristics obtained on the physical state and properties of lake clays have permitted us to divide the thickness into two zones; these indices alter up to 53 metres in depth, further they are almost stable.

Consequently, being lithologically homogeneous, lake clays vary according to their physical state. The investigated clays are middle compressive and practically watertight.

The results obtained by means of structural-mechanical and rheological investigations show that lake clays are transitional rocks between weak and intermediate degrees of compaction and lithification.

Compression and structural-mechanical investigations show that lake clays possess structural strength.

The deformation behaviour of natural and disturbed structures significantly varies. Natural structures at small stresses are elastic-plastic-viscous bodies; later with ageing and compaction they transit into plastic-viscous bodies.

Disturbed structures are plastic-viscous bodies, with high values of relationship between the initial and final viscosities.

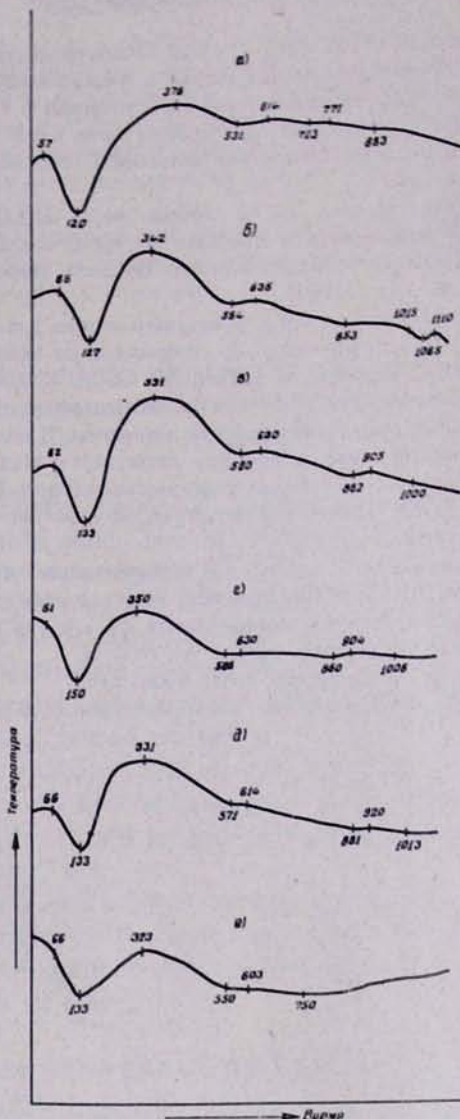
The investigations confirm the importance of complex quantitative characteristics of clays.

ЧИСЛЕННОВОЛЬ—ЛИТЕРАТУРА—REFERENCES

- Абих Г. В. 1899. Геология Армянского нагорья, Западная часть. Орографическое географическое описание. Зап. Кавк. отд. Имп. геогр. о-ва, кн. 21., Пятигорск.
 Асланян А. Т. 1958. Региональная геология Армении. Ереван, Айнетрат.
 Бишоп А. У., Хенкель Д. Дж. 1961. Определение свойства грунтов в трехосных испытаниях. Госстройиздат.
 Габриелян А. А. 1959. Основные вопросы тектоники Армении. Изд. АН АрмССР.
 Горькова И. М. и Рябичева К. Н. 1959. Опыт изучения структурно-механических свойств некоторых глинистых пород. Тр. ЛГГП, т. 22.

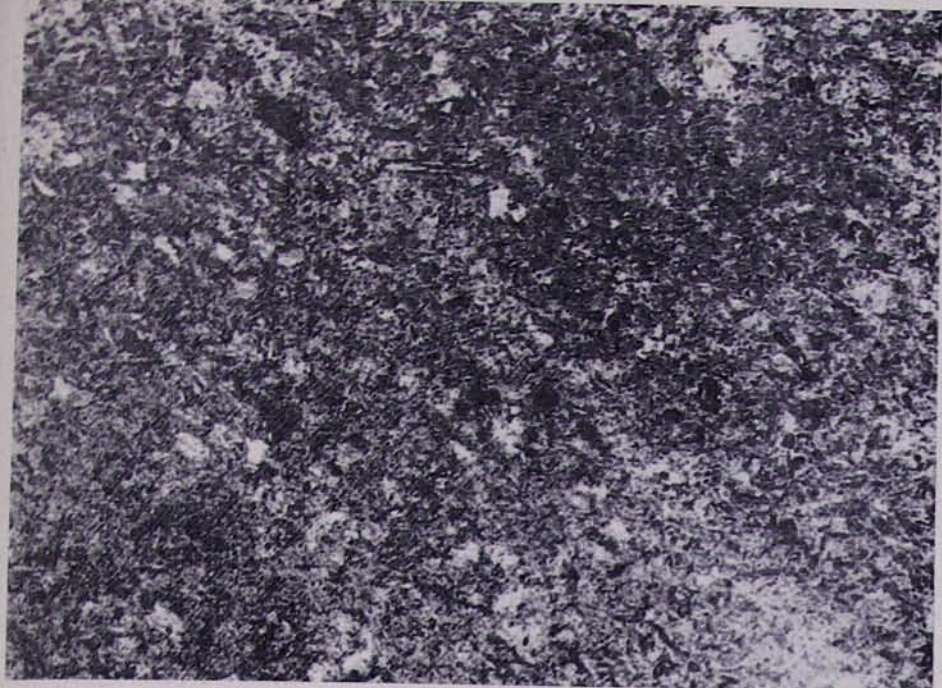
* Senior Scientific Worker, Dept. of Geomechanics, Geological Institute, Armenian Academy of Sciences.

- Горькова И. М. 1965. Структурные и деформационные особенности осадочных пород различной степени уплотнения и литификации. Изд. «Наука».
- Горькова И. М. 1966. Теоретические основы оценки осадочных пород в инженерно-геологических целях. Изд. «Наука».
- Качинский Н. А. 1943. Методы механического и микроагрегатного анализа почвы. Изд. АН СССР.
- Маслов Н. Н. 1949. Прикладная механика грунтов. Машстройиздат.
- Морозов С. С. 1949. Химико-минералогический состав и физико-химические свойства отдельных гранулометрических фракций лессов Приднепровья и генетически близких им пород. Уч. зап. Моск. ун-та, вып. 133, грунтоведение, кн. I.
- Оганезов Г. Г. 1962. Подземные воды Ааратской котловины (водный баланс массива Арагац), т. 3. Армгосиздат.
- Попов И. В. 1944. Кристоструктура глин при их деформации. ДАН СССР, т. 45, № 4.
- Приклонский В. А. 1947. Об использовании пределов Аттерберга для характеристики состава и состояния тонкодисперсных отложений. Вопросы теоретической и прикладной геологии, сб. 2, изд. МГРИ.
- Райтбурд Ц. М. 1956. О применении рентгено-структурного метода для изучения текстурообразования в глинах при деформации. Тр. совещания по инж.-геол. свойствам горных пород и методам их изучения, т. 1. Изд. АН СССР.
- Саркисян Д. Б. 1963. О вещественном составе и инженерно-геологических свойствах озерных нижнечетвертичных глин Ленинаканской котловины. В кн.: «Формирование инж.-геол. свойств глинистых пород в процессе литогенеза». Изд. АН СССР.
- Саркисян Д. Б. 1966. Формирование инженерно-геологических свойств озерных глин при их литификации. II часть кн. «Инженерно-геологические свойства пород и вопросы литогенеза». Изд. «Наука».
- Тер-Степанян Г. И. 1956. Комфильмметр—прибор для компрессионных и фильтрационных испытаний грунтов. Изв. АН АрмССР, физ.-мат., естест. и техн. науки, т. 9, № 4.
- Тер-Степанян Г. И. 1960. Об определении коэффициента фильтрации связных грунтов. Изв. АН АрмССР, сер. геол. и географ. наук, т. 13, № 3—4.
- Тюрин И. В. 1937. Органическое вещество почв. Сельхозгиз.
- Чаповский Е. Г. 1958. Лабораторные работы по грунтоведению и механике грунтов. Госгеолтехиздат.



Чет. 4. Четвертичные глины для образцов:
а—4829, б—4830, в—4832, г—4835, д—4837, е—4839, ж—4840.

Рис. 4. Дифференциальные кривые нагревания глин для образцов:
а—4829; б—4830; в—4832; г—4835; д—4837; е—4839; ж—4840.



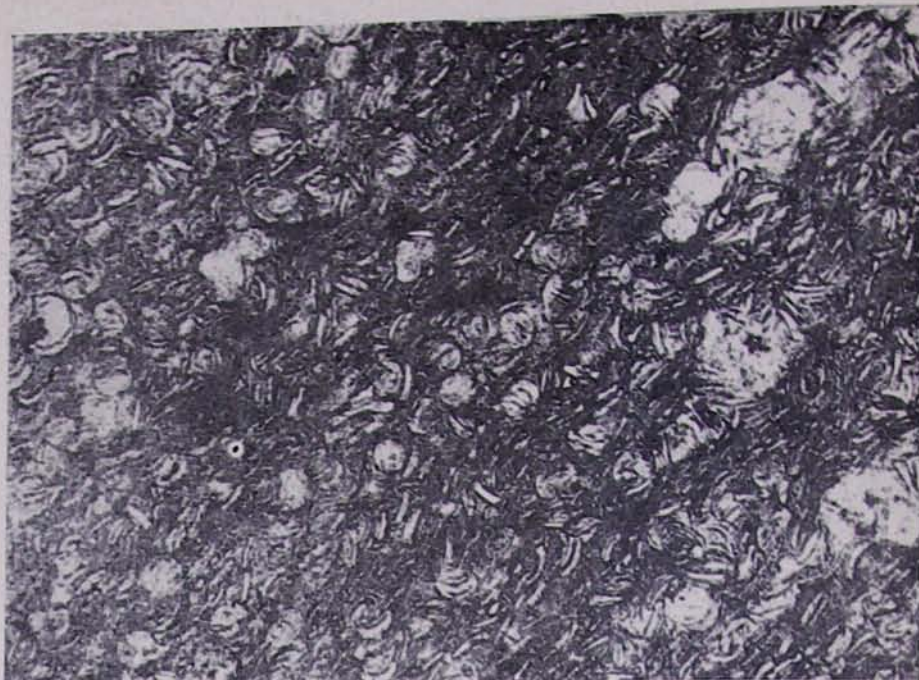
Նկ. 1. Նմուշ 4839 (խոր. 28,0 մ) միկրոնկարը $\times 70$

Рис. 1. Микрофотография образца 4839 (глуб. 28,0 м) $\times 70$

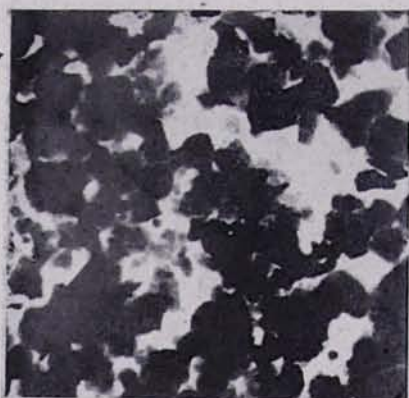


Նկ. 2. Նմուշ 4838 (խոր. 80,0 մ) միկրոնկարը $\times 150$

Рис. 2. Микрофотография образца 4838 (глуб. 80,0 м) $\times 150$



Նկ. 3. Նմուշ 4834 (խոր. 48,0 մ) միկրոնկարը $\times 70$.
Рис. 3. Микрофотография образца 4834 (глуб. 48,0 м), $\times 70$



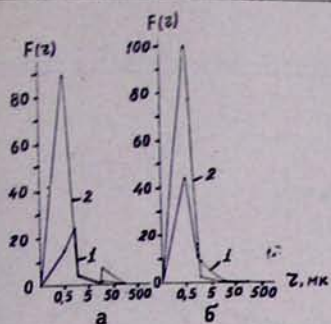
Նկ. 5. Նմուշ 4835 (խոր. 53,0 մ) էլեկտրոնակարգի նկարը $\times 10000$

Рис. 5. Электронномикрофотография образца 4835 (глуб. 53,0 м). $\times 10000$



Նկ. 6. Նմուշ 4847 (խոր. 101,0 մ) էլեկտրոնակարգի նկարը $\times 10000$

Рис. 6. Электронномикрофотография образца 4847 (глуб. 101,0 м). $\times 10000$



Ч. 7. Графики распределения микроагрегатного (1) и гранулометрического (2) состава для образцов:

а—4828; б—4829; в—4830; г—4831; д—4832;
е—4833; ж—4834.

Ч. 9. Кривые компрессии и декомпрессии:

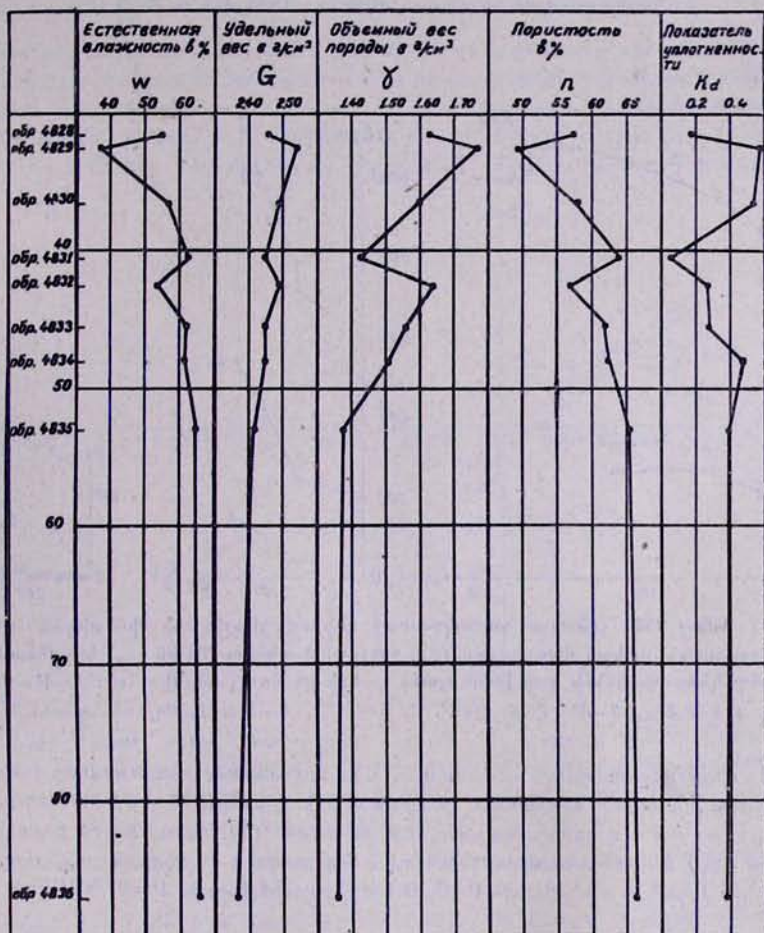
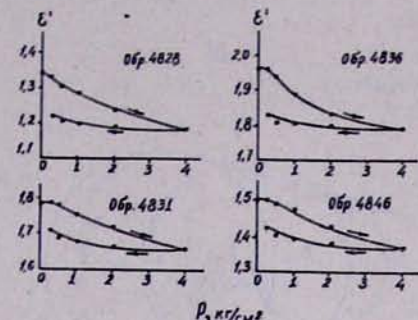
обр. 4828, обр. 4829, обр. 4830, обр. 4831, обр. 4832,

обр. 4833, обр. 4834, обр. 4835, обр. 4836.

Рис. 7. Кривые распределения микроагрегатного (1) и гранулометрического (2) соста-

вов для образцов:

а—4828; б—4829; в—4830; г—4831; д—4832;
е—4833;



Ч. 8. Изменение состояния глины по глубине (скважина № 133).

Рис. 8. Изменение состояния глины по глубине (скважина № 133).